

# 「共鳴軟 X 線非弾性散乱と振動分光」

東京大学物性研究所  
原田慈久

# 謝辞 (敬称略)

## 東大(物性研・応化・放射光機構)



丹羽秀治 (PD, 筑波大8/1~)



小林正起 (PD, 現KEK-PF)



宮脇 淳 (助教)



木内久雄 (D3)



中島淳貴 (修士, 現シャープ)



小瀬川友香 (技術補佐員)



尾嶋正治 (東大放射光)

## EPFL (École Polytechnique Fédérale de Lausanne)



Marco Grioni



Moser Simon

## 理研励起秩序研究チーム



徳島高



堀川裕加



辛 埴

## 東北大学



折茂慎一



高木成幸

## SLAC, Stanford/Stockholm Univ.



Lars G.M. Pettersson



Anders Nilsson

## JASRI/SPring-8



仙波泰徳



大橋治彦

## 広島大学



高橋 修

## 筑波大学

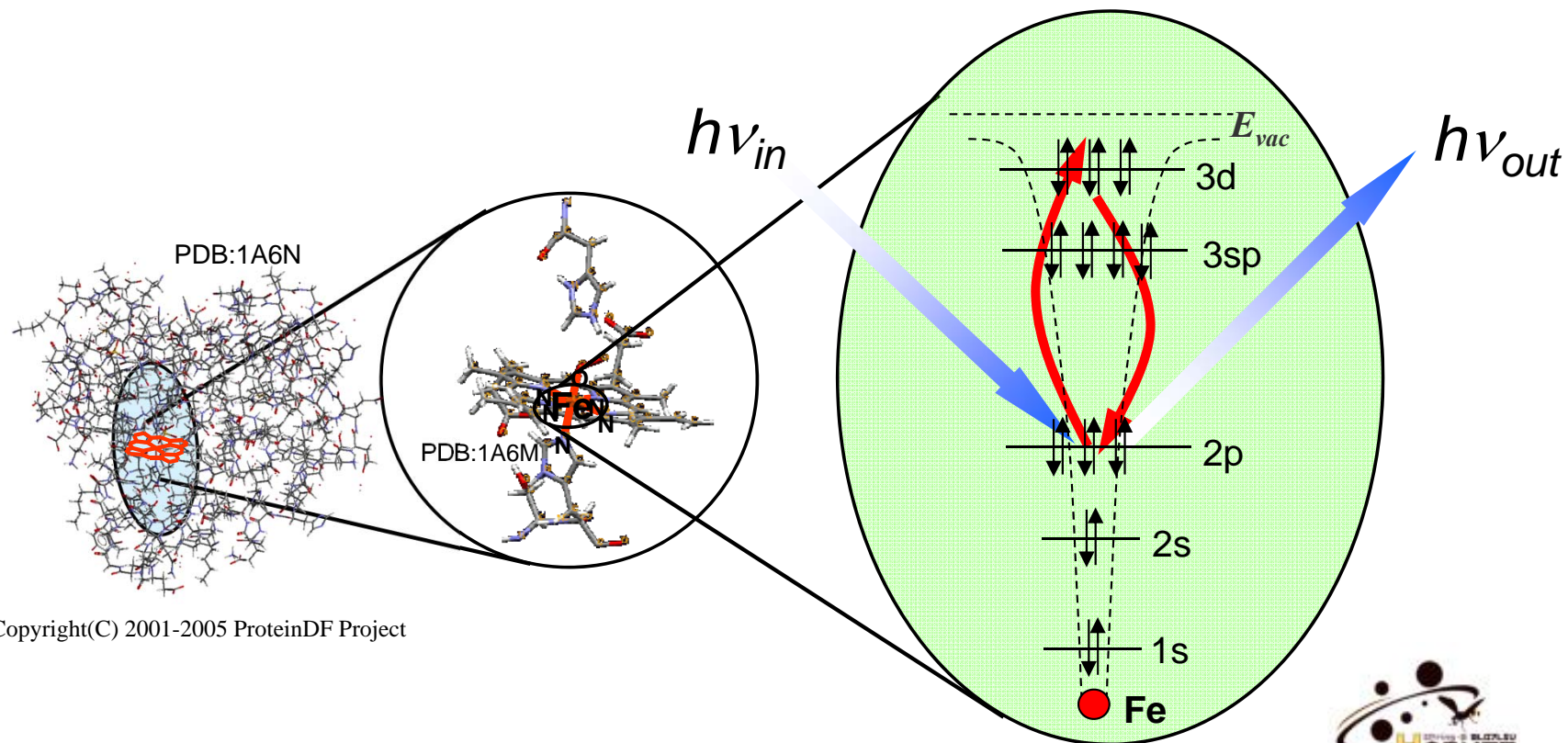


関場大一郎



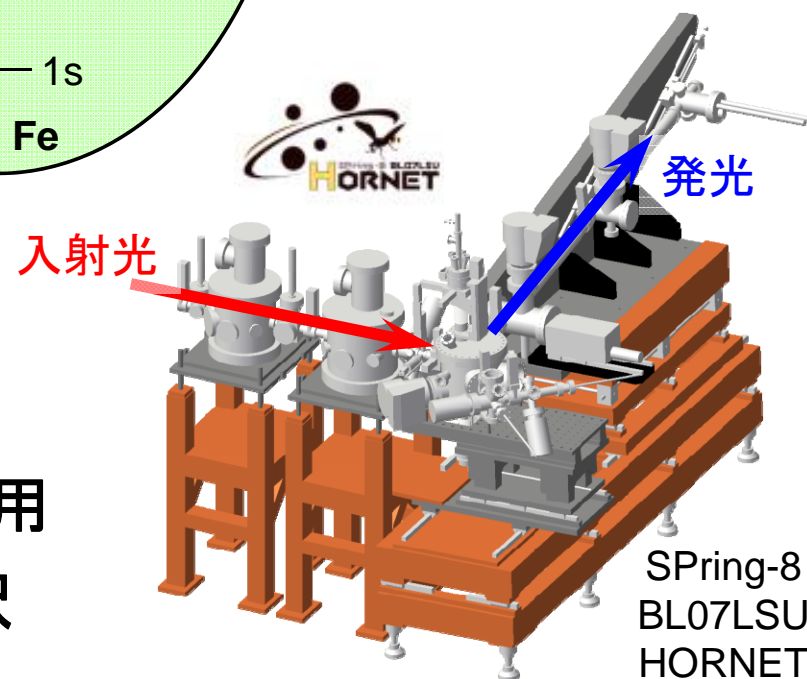
栗田圭輔

# 軟X線発光分光とその特長



Copyright(C) 2001-2005 ProteinDF Project

- 内殻励起 ⇒ 元素選択性
- 双極子遷移 ⇒ 軌道選択性
- 軟X線-in/out ⇒ 深い侵入長 (~1 $\mu$ m)  
⇒ 絶縁体、溶液、ガス等への応用
- 偏光利用 ⇒ 結晶の異方性, 角運動量選択

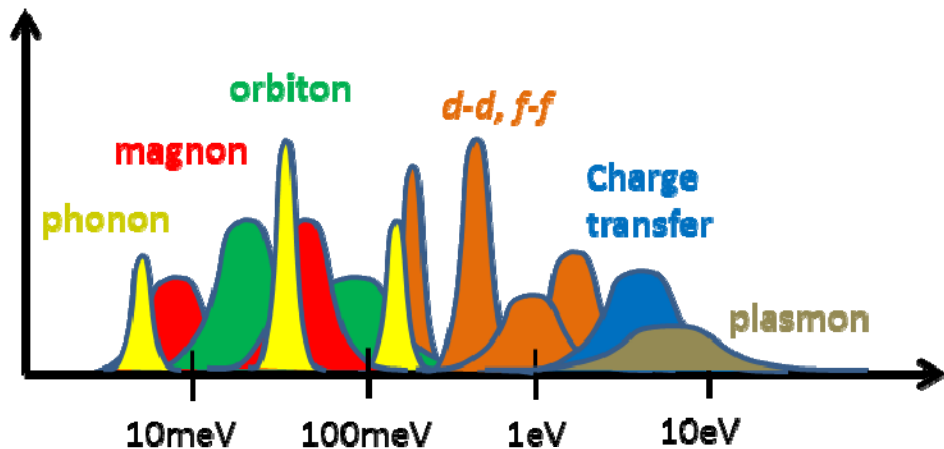


# 共鳴軟X線発光分光と素励起

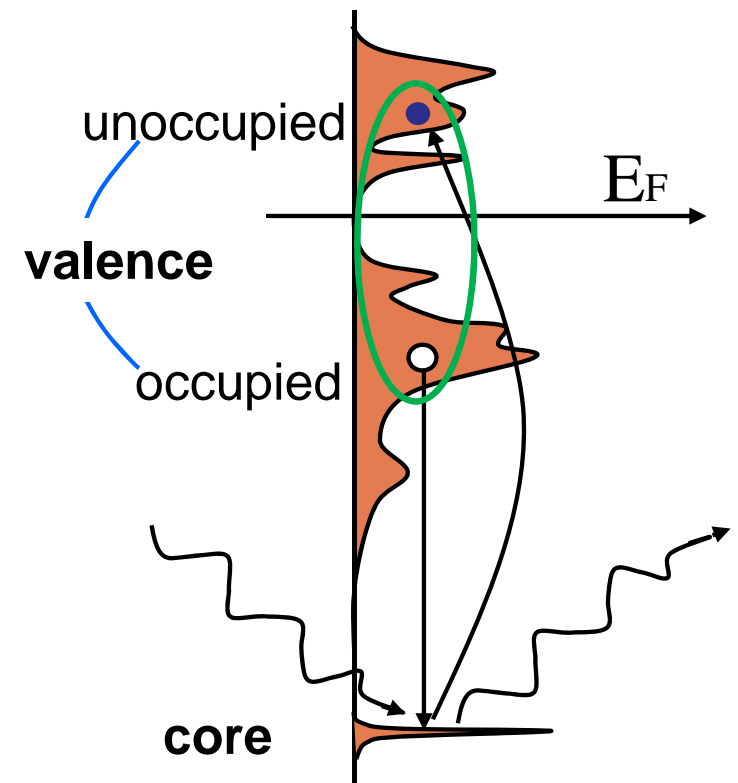
超高分解能化  $\Rightarrow$  100 meV オーダーの素励起

element-specificity +

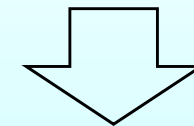
- crystal field excitations
  - vibrational(or phonon) excitations
  - spinon or magnon excitations
  - orbiton excitations
- etc.



RXES or RIXS

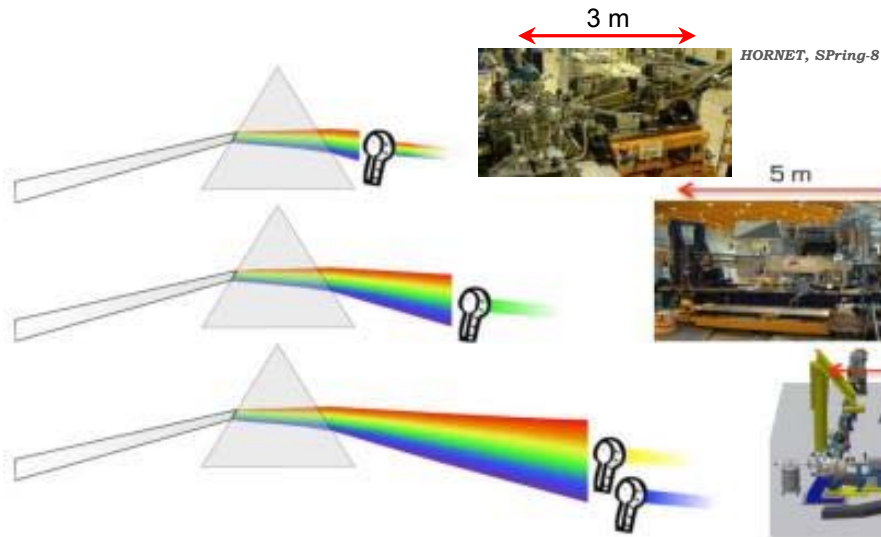


内殻正孔寿命で制限されない分解能



素励起の寿命幅 ( $\sim 1$  meV) で制限

# 究極の分解能を目指す軟X線発光分光



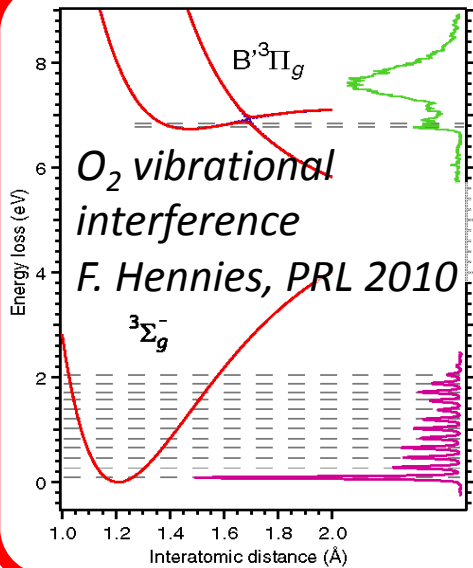
$E/\Delta E \sim 10000$ , liquid/operando, (角度分解)  
Y. Harada, 2010

$E/\Delta E \sim 12000$ , 角度分解  
G. Ghilingelli, 2008

$E/\Delta E \sim 100000$ , 角度分解  
J. Ignace, 2017 ~?

**liquids & gases** - solution chemistry, batteries, photocatalysts, water etc..

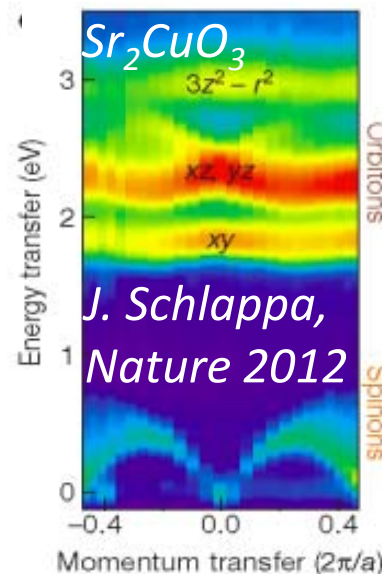
**solids** - superconductor, insulator, multiferroics, topological materials etc..



振動モードの完全分離

X線励起の振動分光で  
電子状態・ポテンシャルと  
構造の情報を統合

水への適用例:  
Y. Harada et al. PRL 2013



角度分解の導入により  
素励起のE-k分散を観測

高分解能化 & 偏光依存により、10meVオーダーの  
マグノン・フォノン・オービトン  
等の素励起を分離可能に

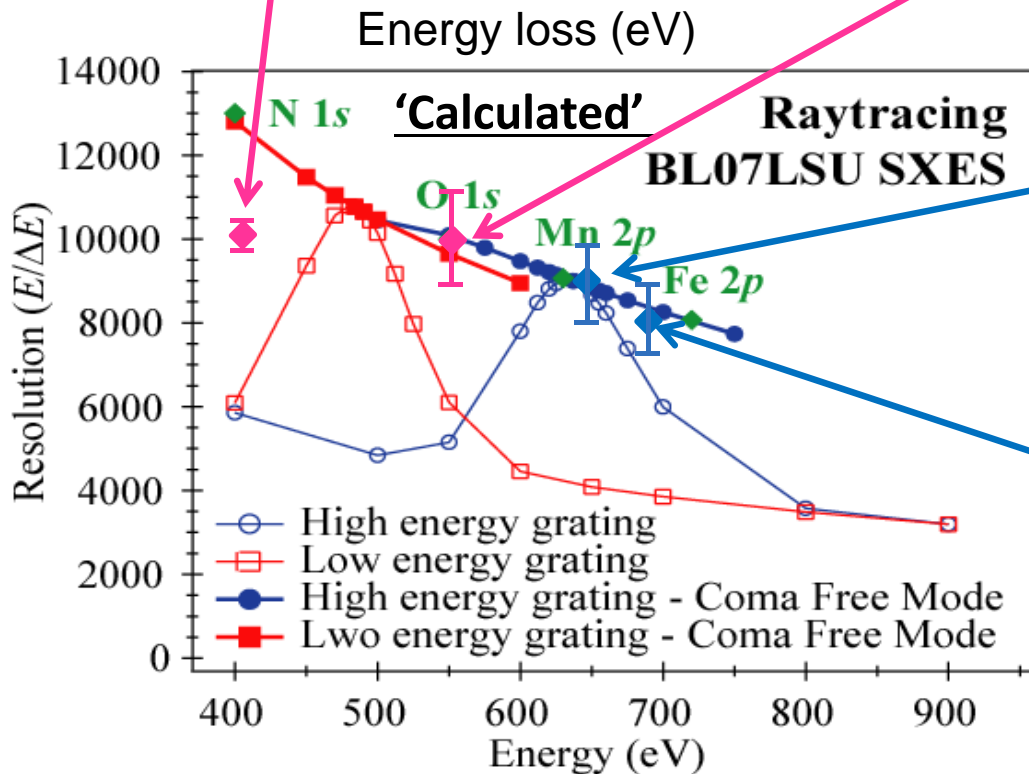
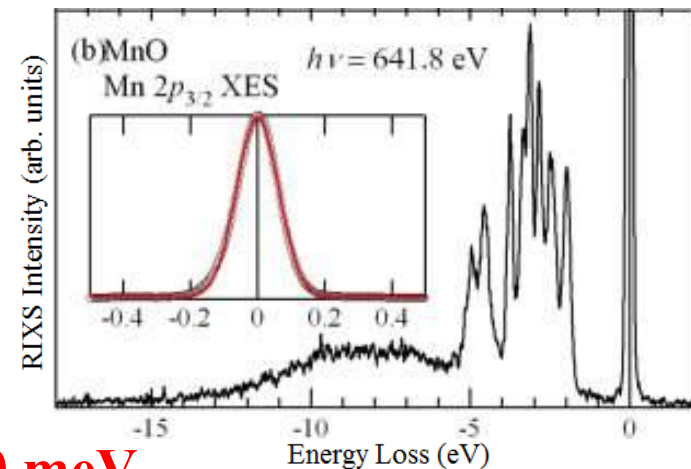
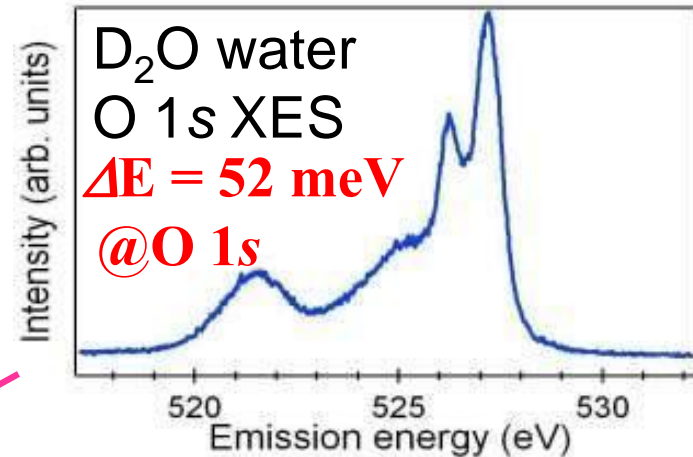
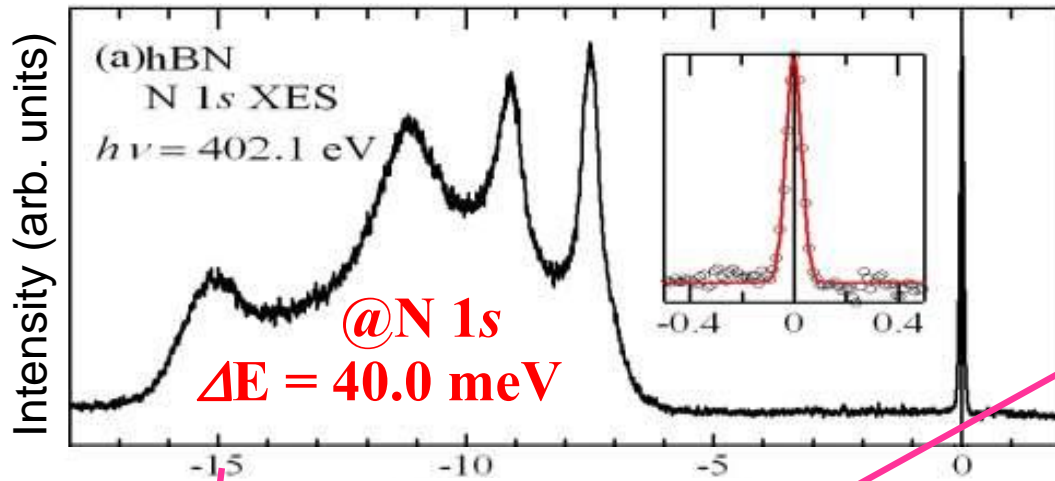
# Experimental

## Ultrahigh resolution soft X-ray emission spectroscopy @ SPring-8 BL07LSU HORNET station



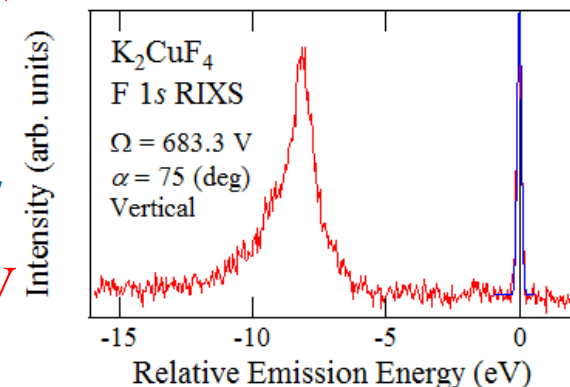
# (Ultra)high resolution

Y. Harada et al., *RSI* **83**, 013116. (2012)



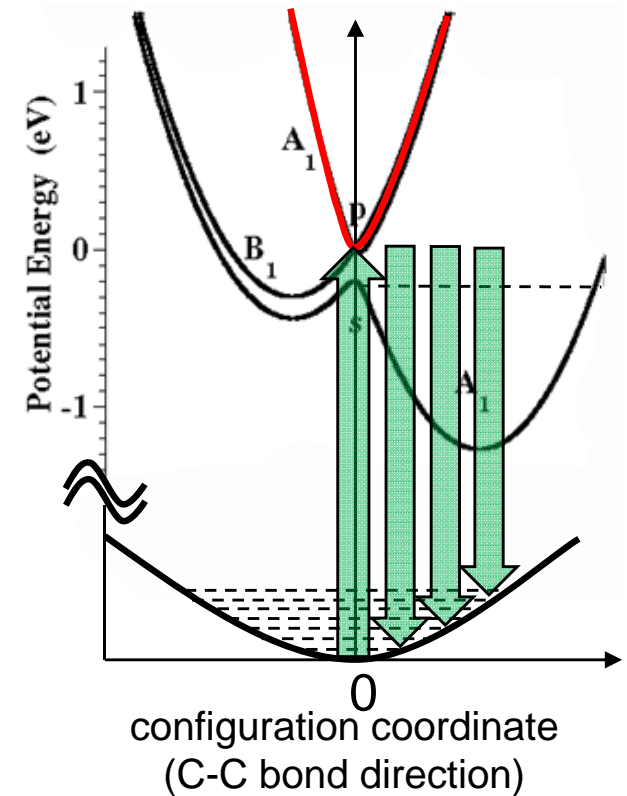
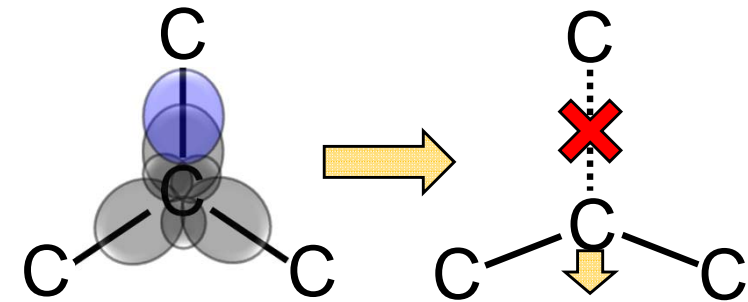
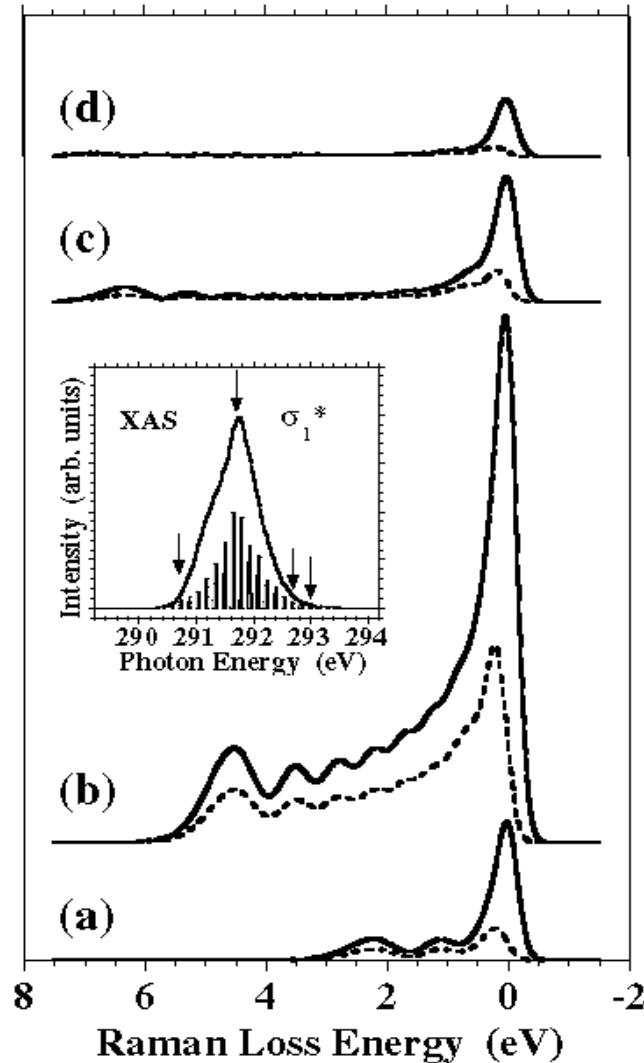
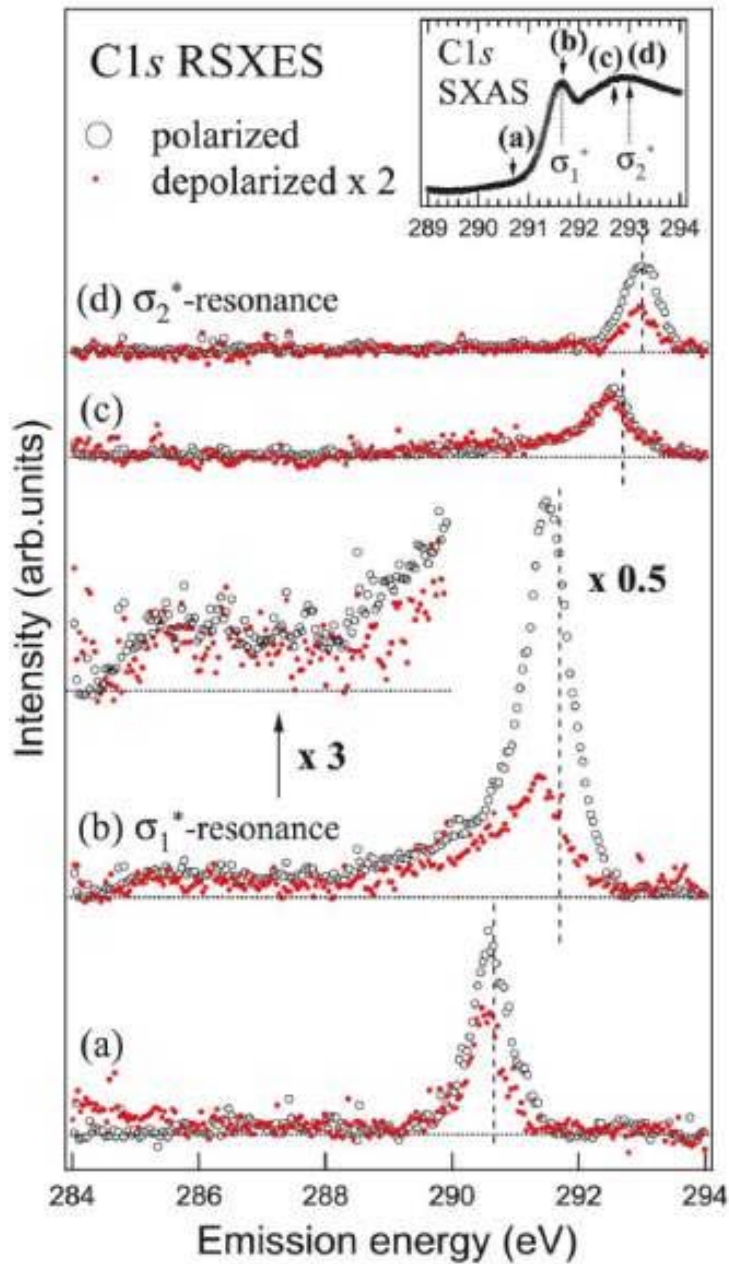
$\Delta E = 70$  meV  
@Mn 2p

$\Delta E = 90$  meV  
@F 1s



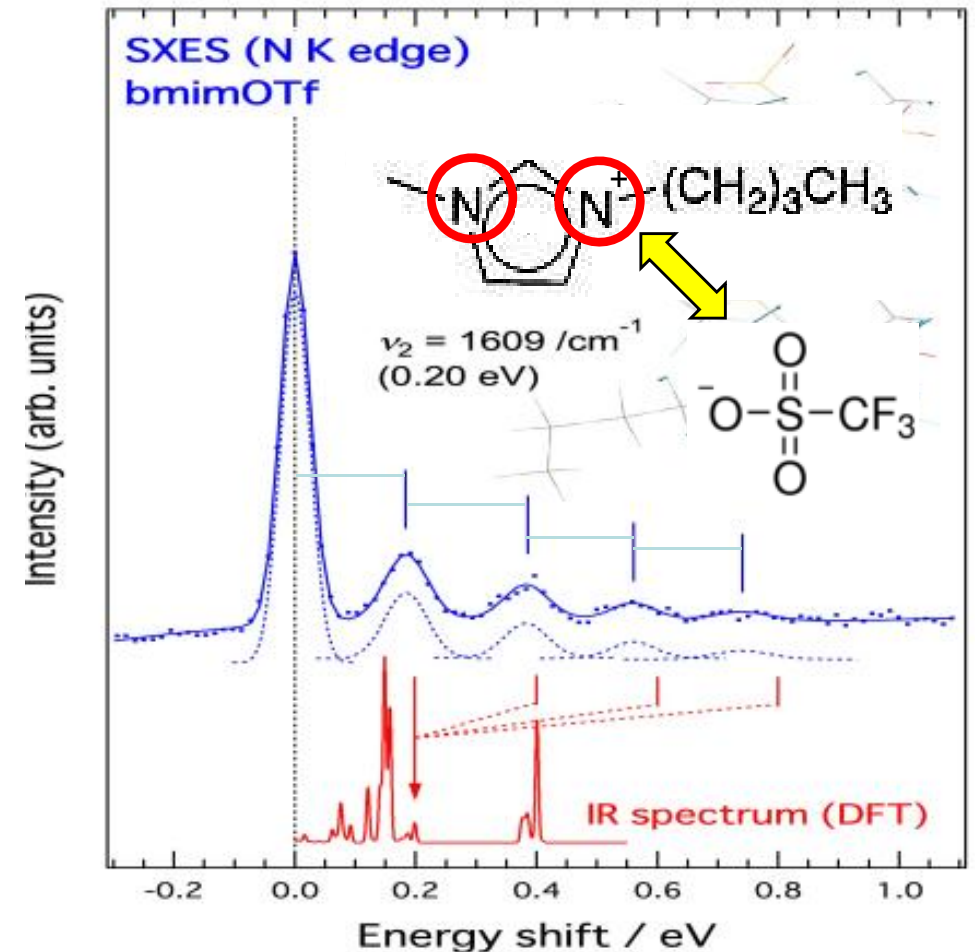
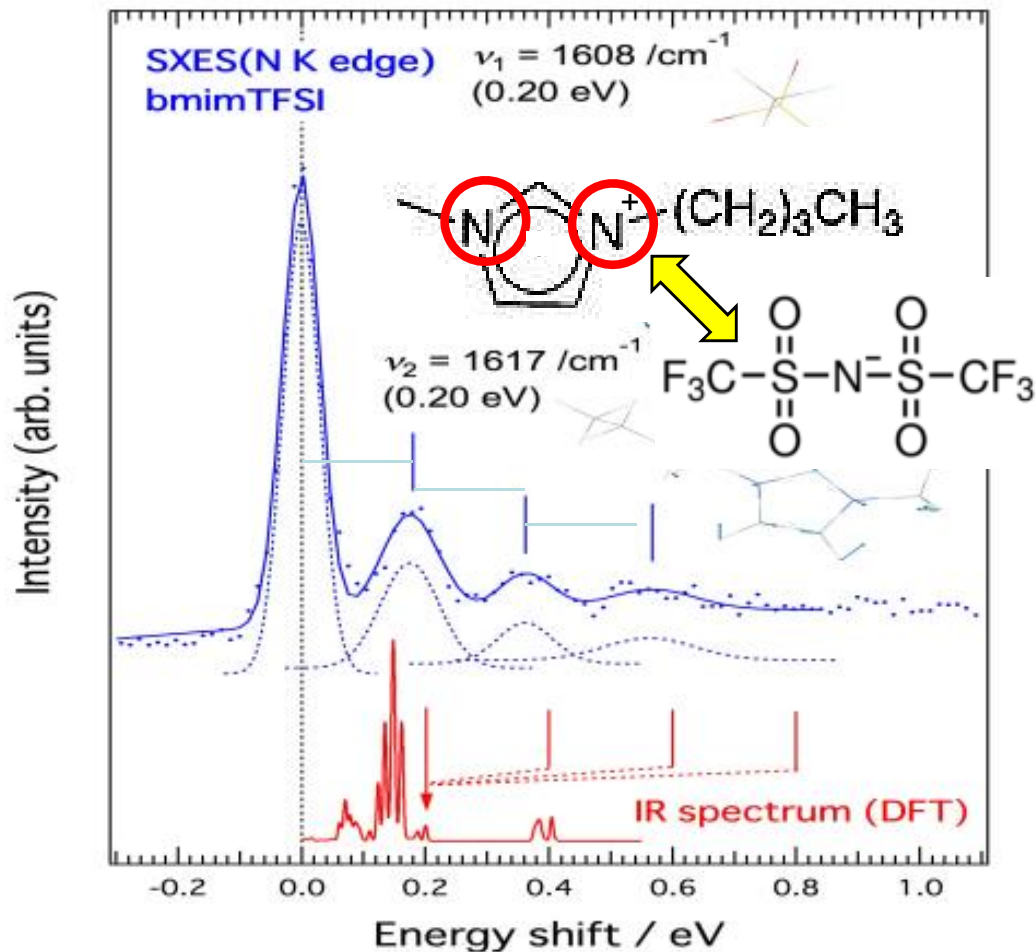
# C 1s vibrational RIXS of graphite

Harada *et al.*, PRL **93**, 017401 (2004)



# Ionic liquids (weak interaction with anions)

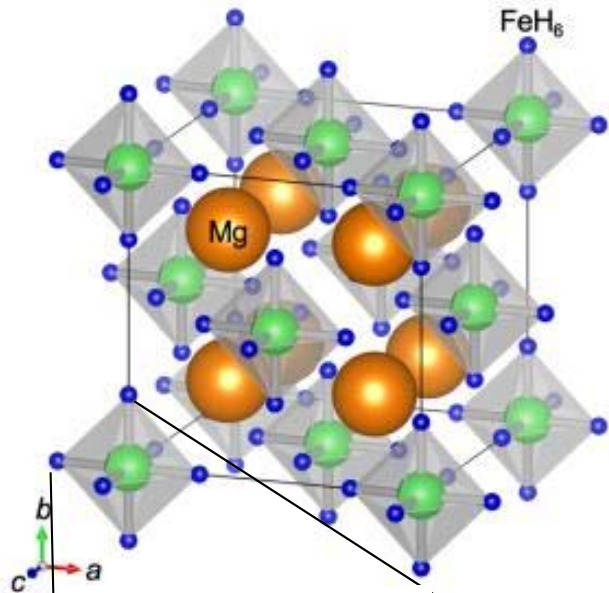
東京理科大 金井ら



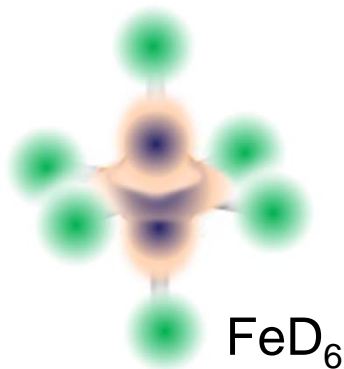
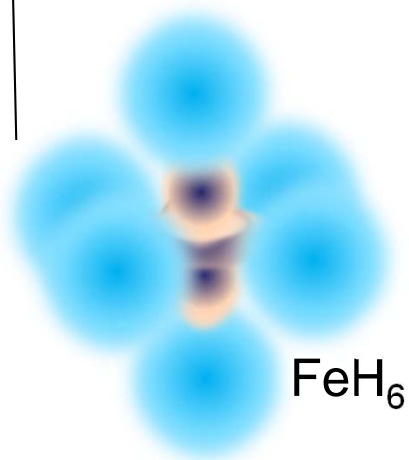
10  $\text{cm}^{-1}$  ( $\sim 1$  meV) オーダーの分解能が必要  
→ 既存のシステムではまだ難しい!

# Hydrogen storage material (Very fast decay)

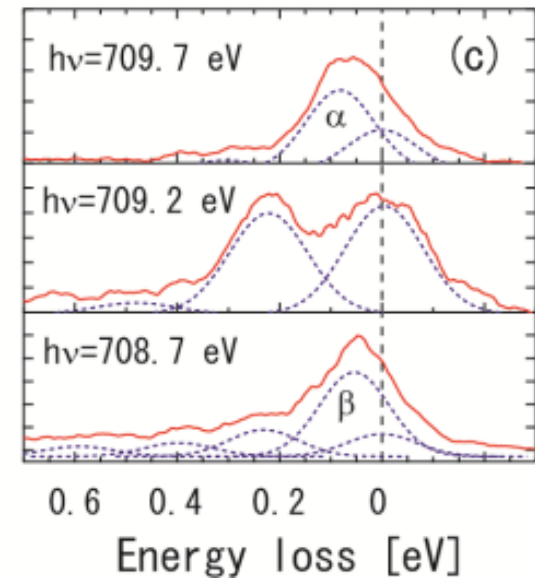
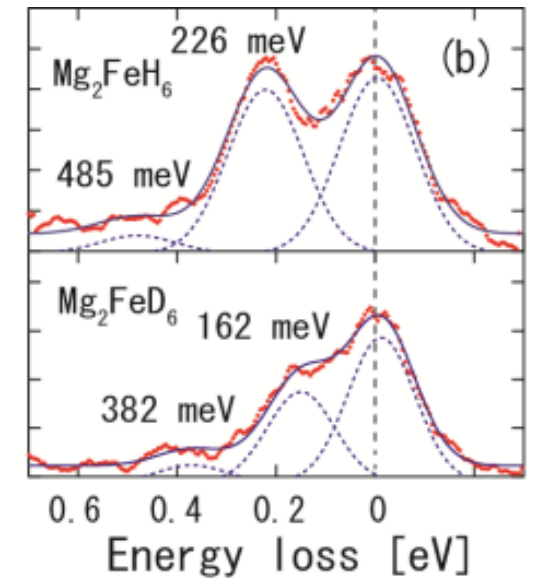
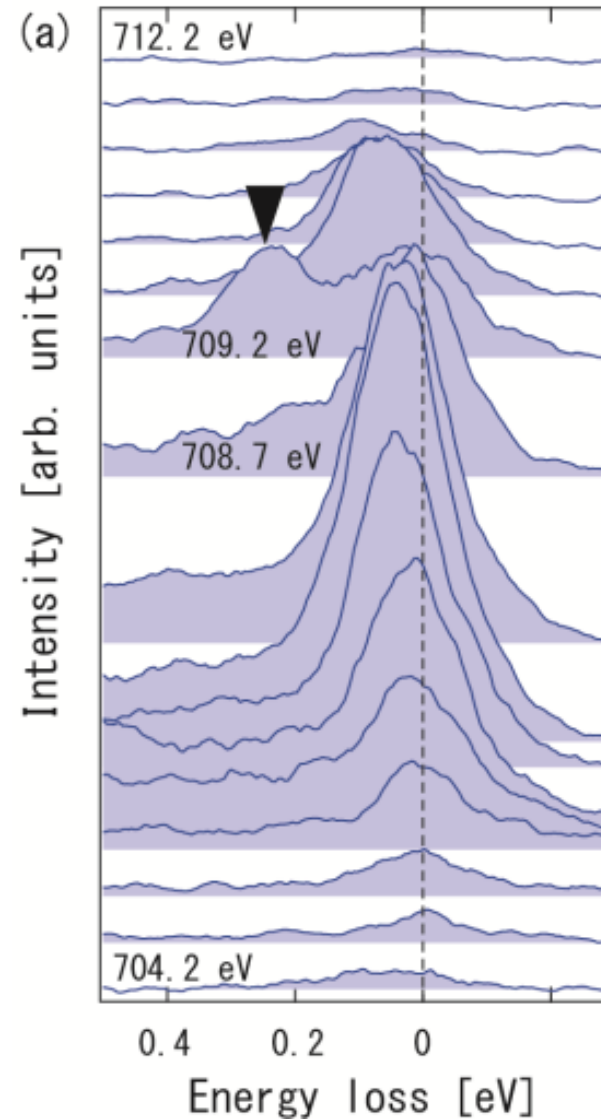
K. Kurita *et al.*, JPSJ **84**, 043201 (2015).



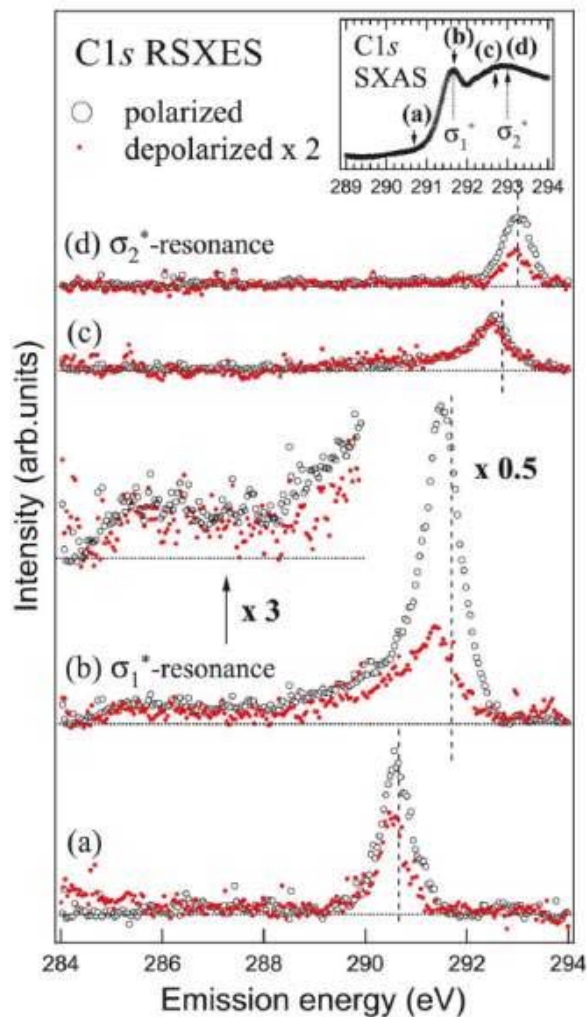
$\text{FeH}_6$  cluster



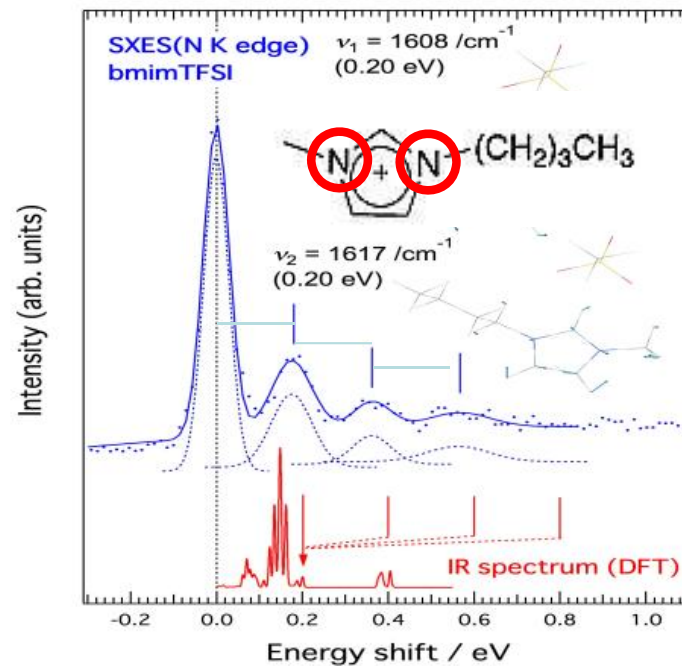
## Fe 2p RIXS



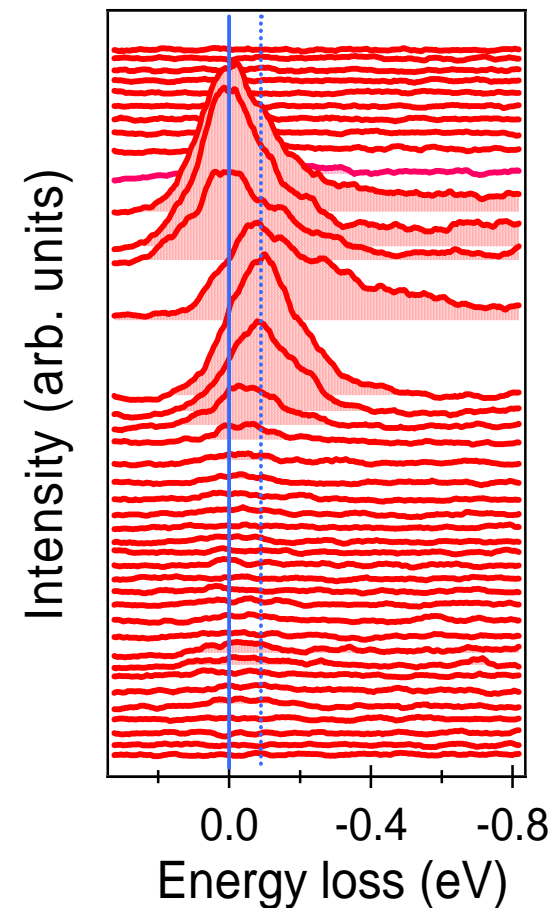
# Vibrational RIXS at different timescales



graphite  
C 1s ~ 10fs



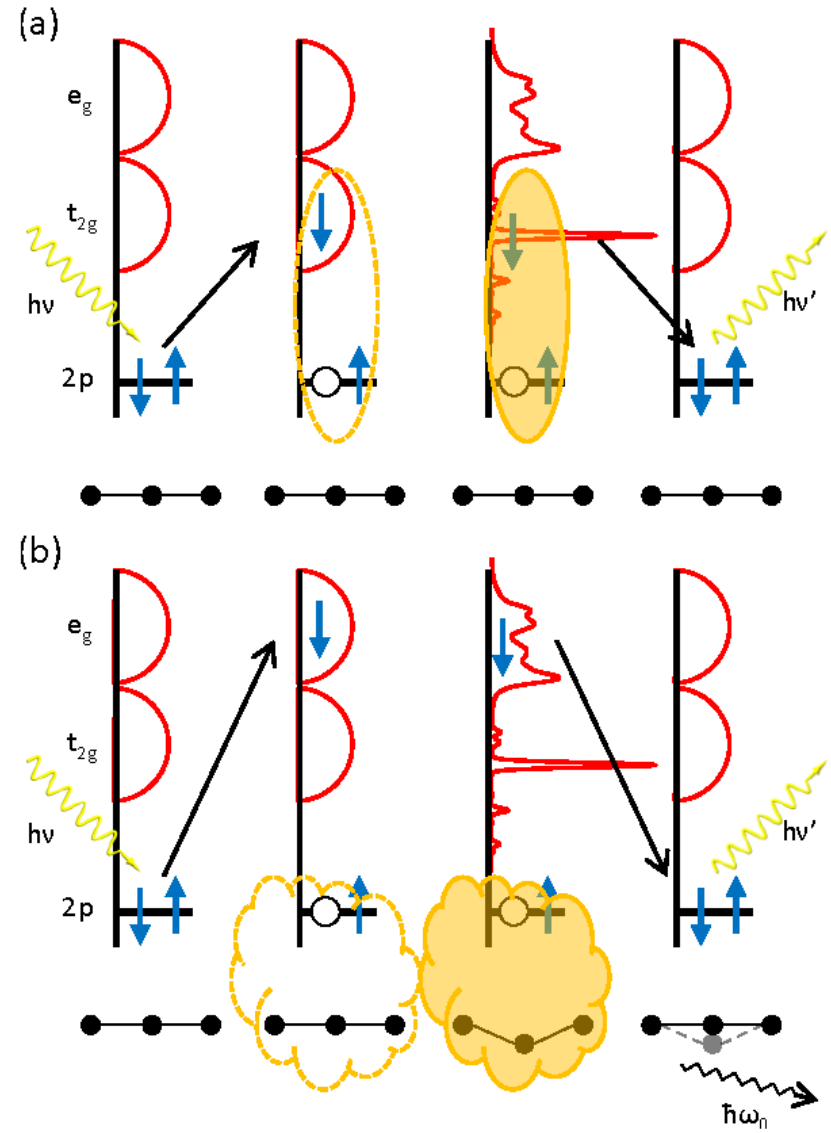
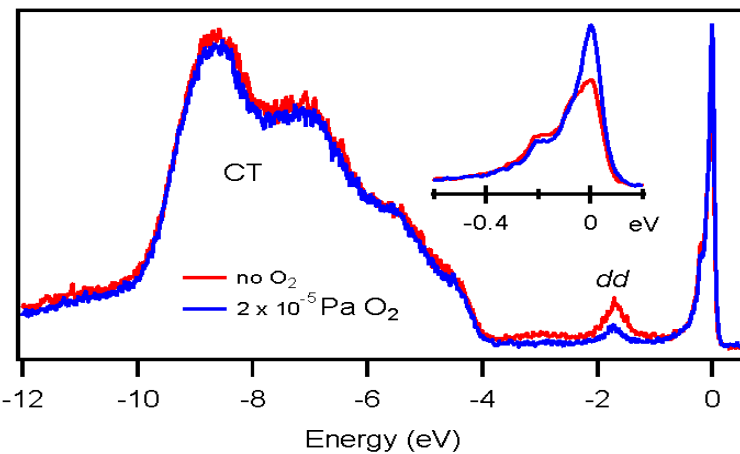
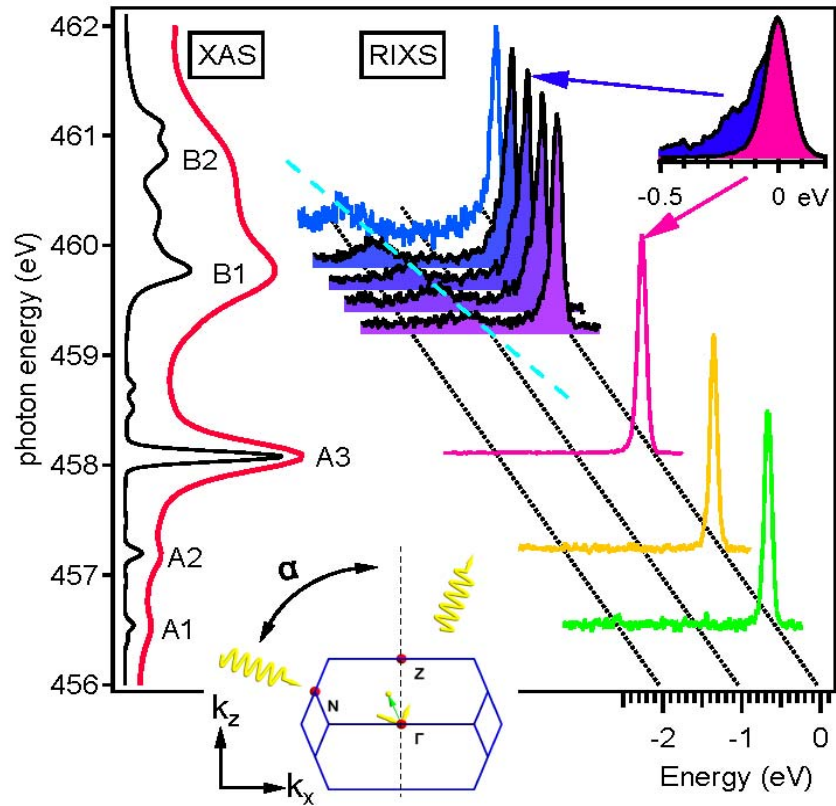
ionic liquids  
N 1s ~ 6fs



$\text{Mg}_2\text{FeH}_6$   
Fe  $2p_{3/2}$  ~ 0.8fs  
Phys. Rev. A, 22, 1615 (1980).

# Anisotropic $e$ - $ph$ coupling in anatase $\text{TiO}_2$

S. Moser *et al.*, PRL, accepted.



# Anisotropic e-ph coupling in anatase TiO<sub>2</sub>

## RIXS

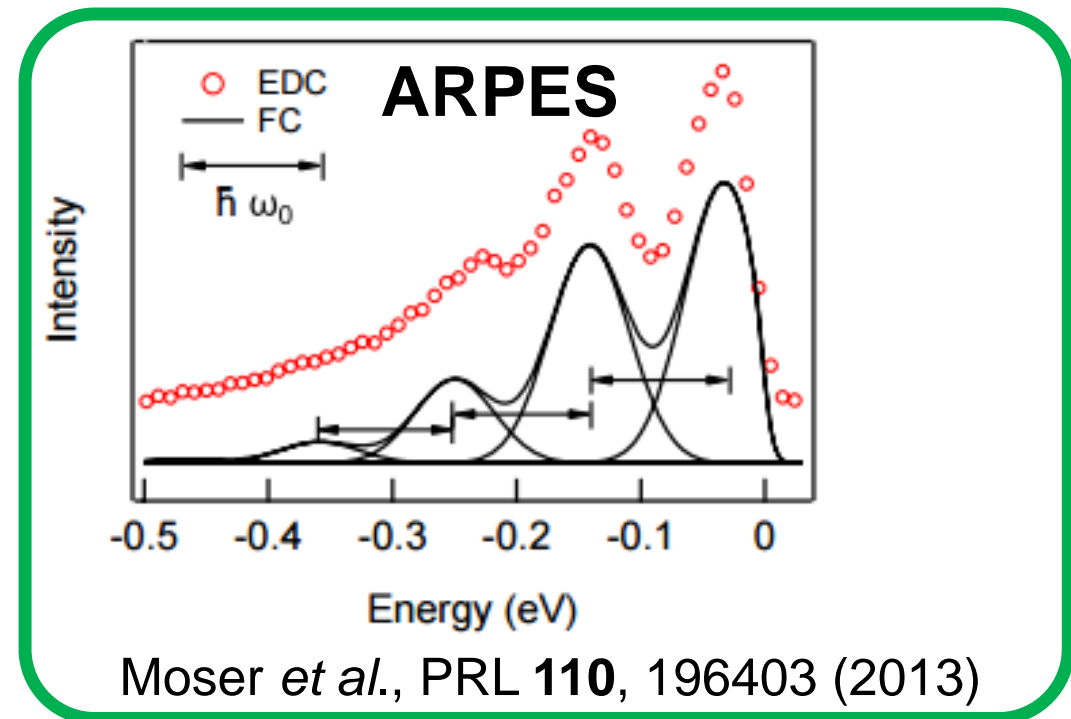
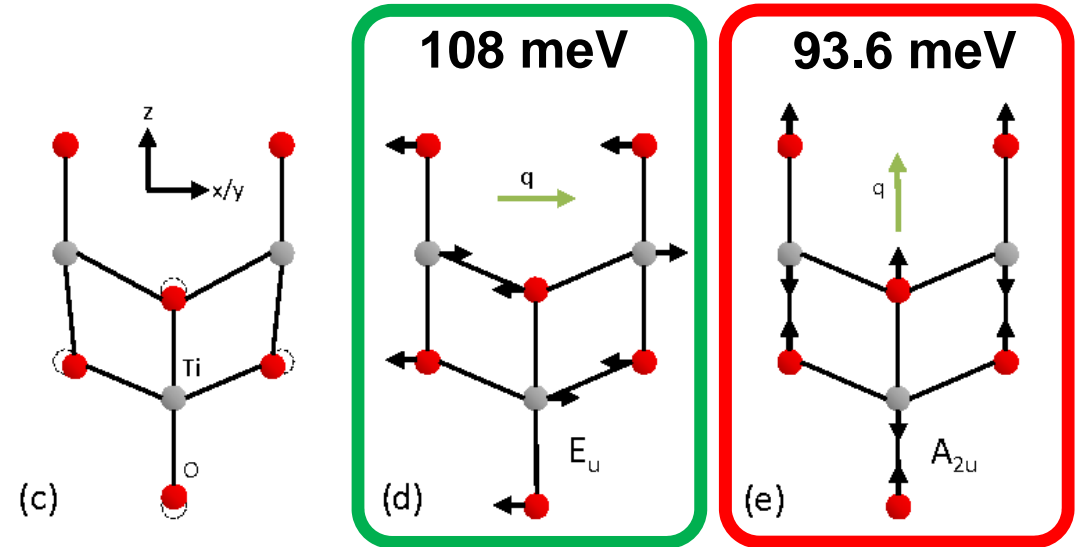
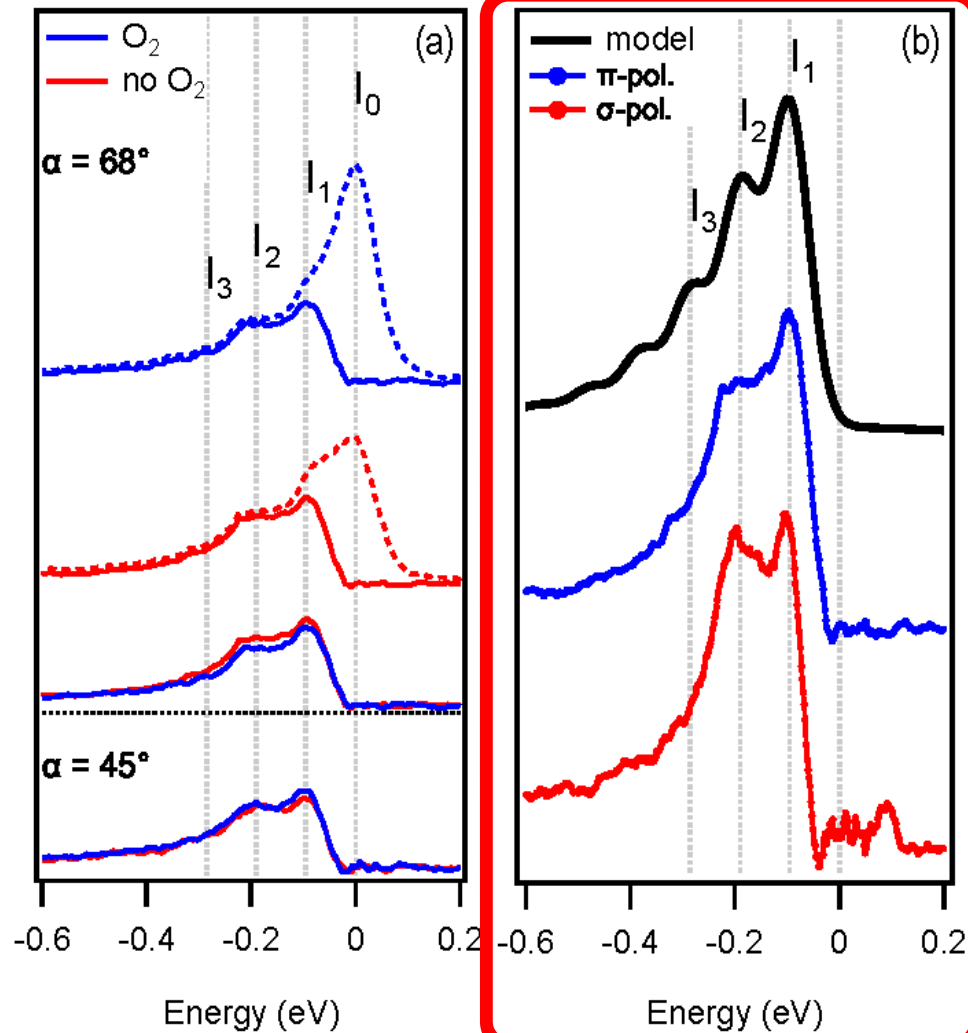
S. Moser *et al.*, PRL, accepted.

$\pi$ -pol

$$A_1 \otimes (E \oplus A_2)^2 = A_1 \oplus A_2 \oplus B_1 \oplus B_2 \oplus E$$

$\sigma$ -pol

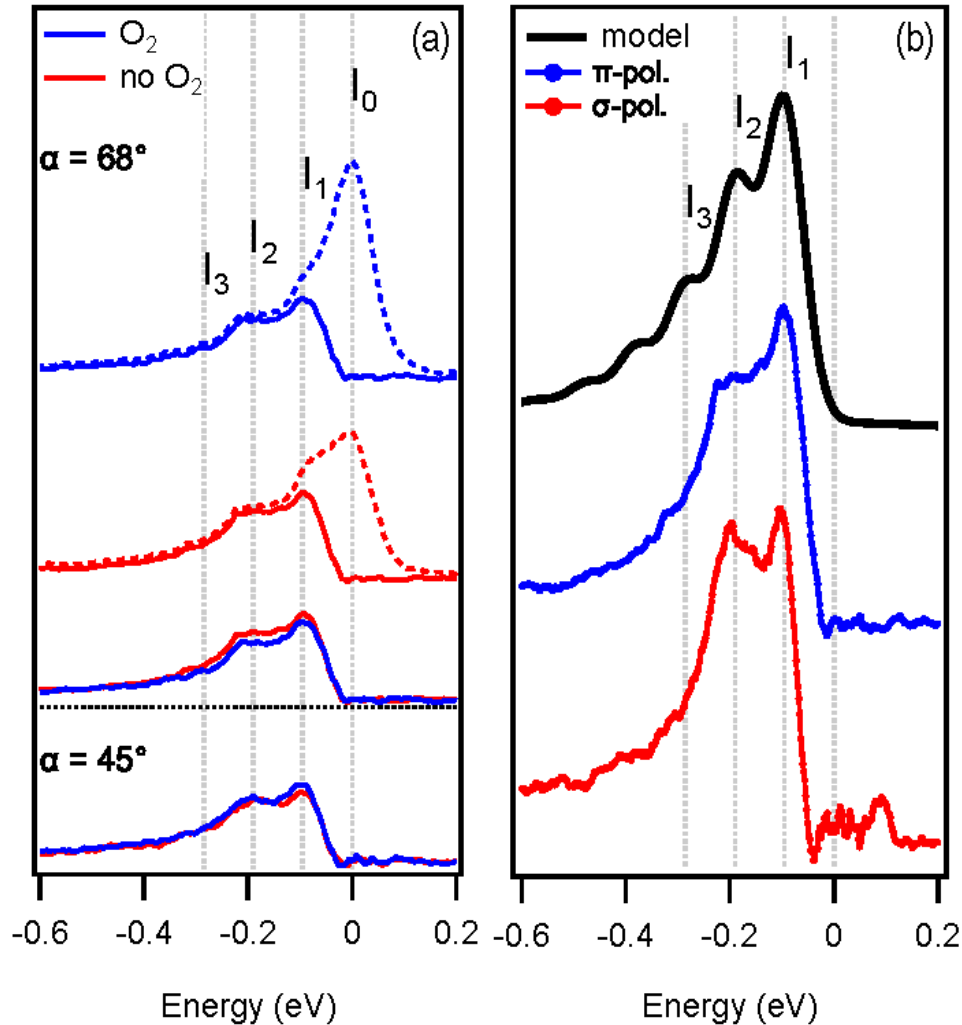
$$A_1 \otimes E^2 = A_1 \oplus A_2 \oplus B_1 \oplus B_2$$



# Anisotropic e-ph coupling in anatase TiO<sub>2</sub>

S. Moser *et al.*, PRL, accepted.

## RIXS



## Fröhlich Hamiltonian

$$H = M \sum_R \boxed{d_R^\dagger d_R} \boxed{(b_R^\dagger + b_R)} + \hbar\omega_0 \sum_R b_R^\dagger b_R$$

electron      phonon

## Kramers-Heisenberg

$$I(\hbar\nu, \hbar\nu') \propto \left| \sum_{n'=0}^{\infty} \frac{B_{\max(n, n'), \min(n', n)}(g) B_{n', 0}(g)}{(g - n')\hbar\omega_0 + i\Gamma} \right|^2$$

$$\hbar\omega_0 = 93.6 \text{ meV}$$

$$M = 130 \text{ meV}$$

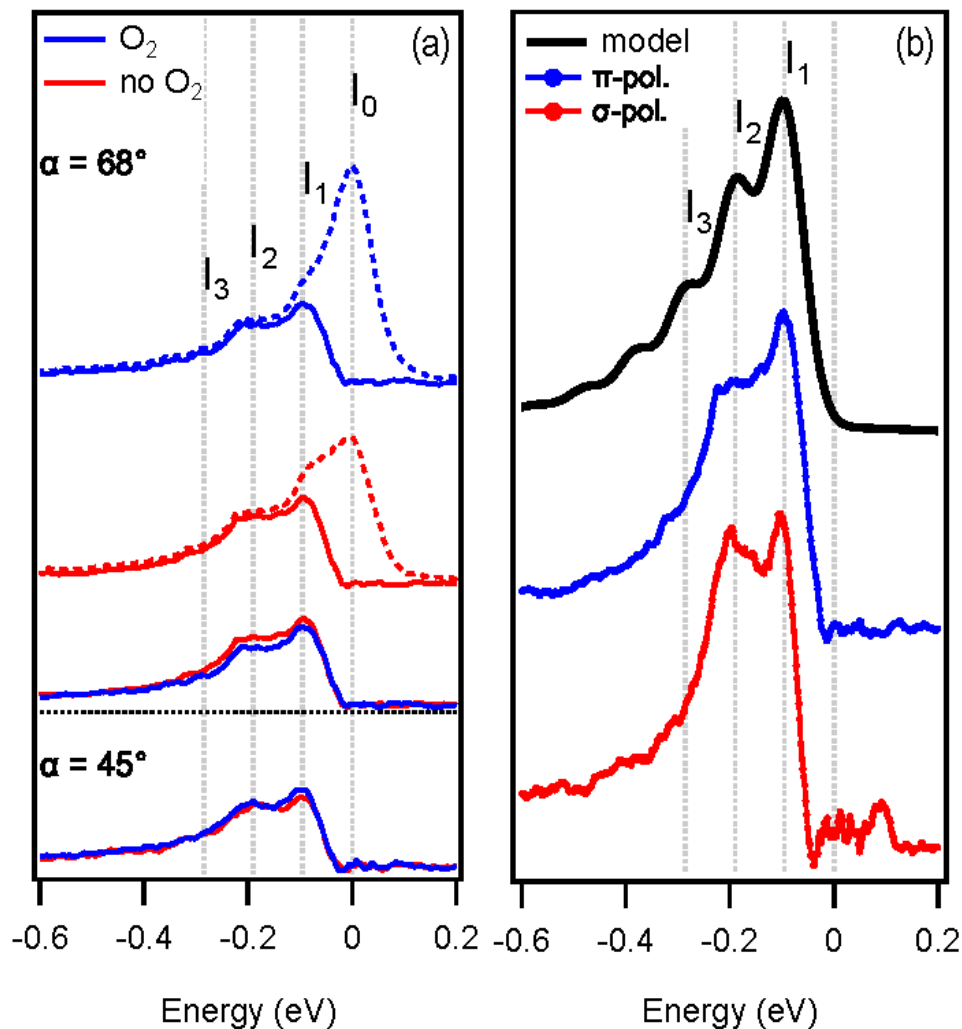
$$g = M^2 / (\hbar\omega_0)^2 = 1.89 \pm 0.16$$

intermediate coupling regime

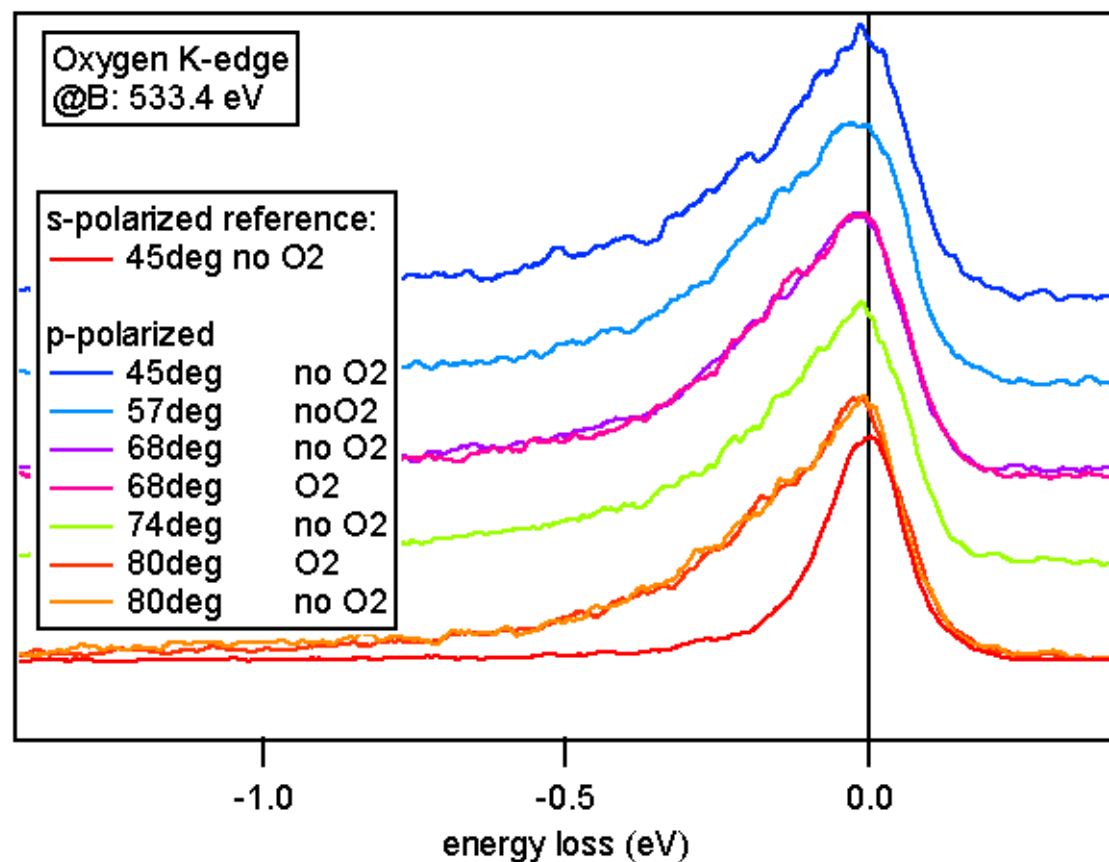
# Anisotropic $e$ - $ph$ coupling in anatase $\text{TiO}_2$

S. Moser *et al.*, PRL, accepted.

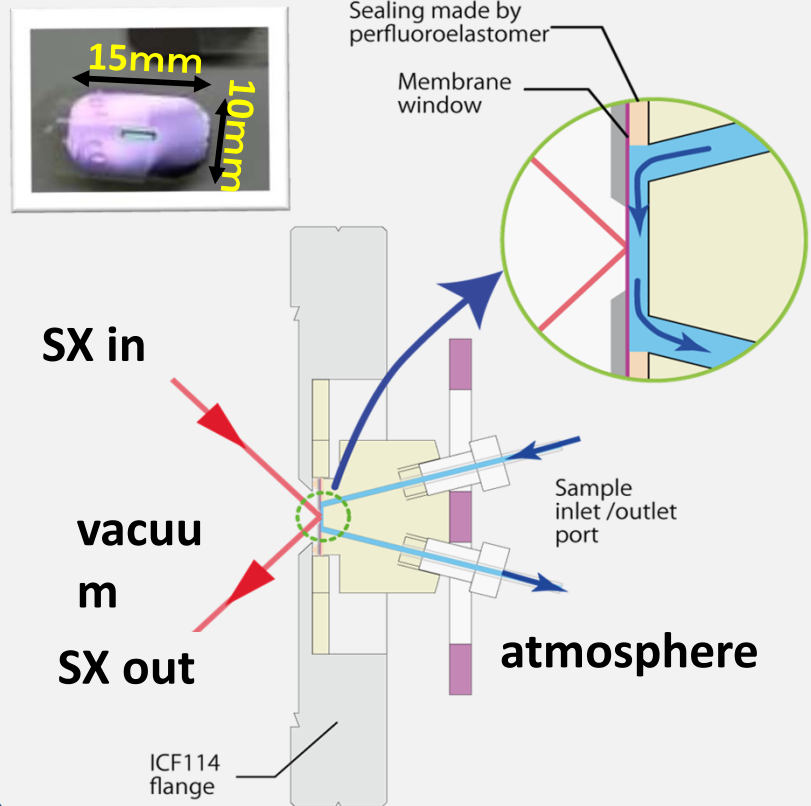
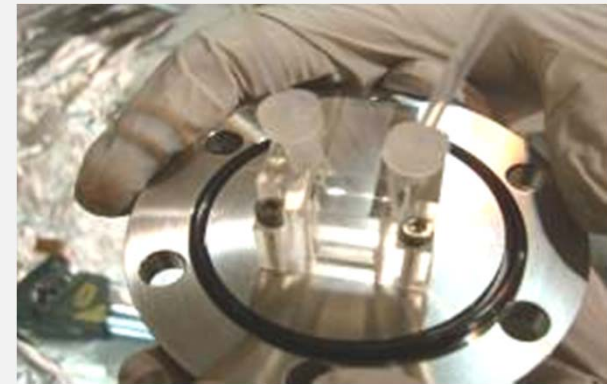
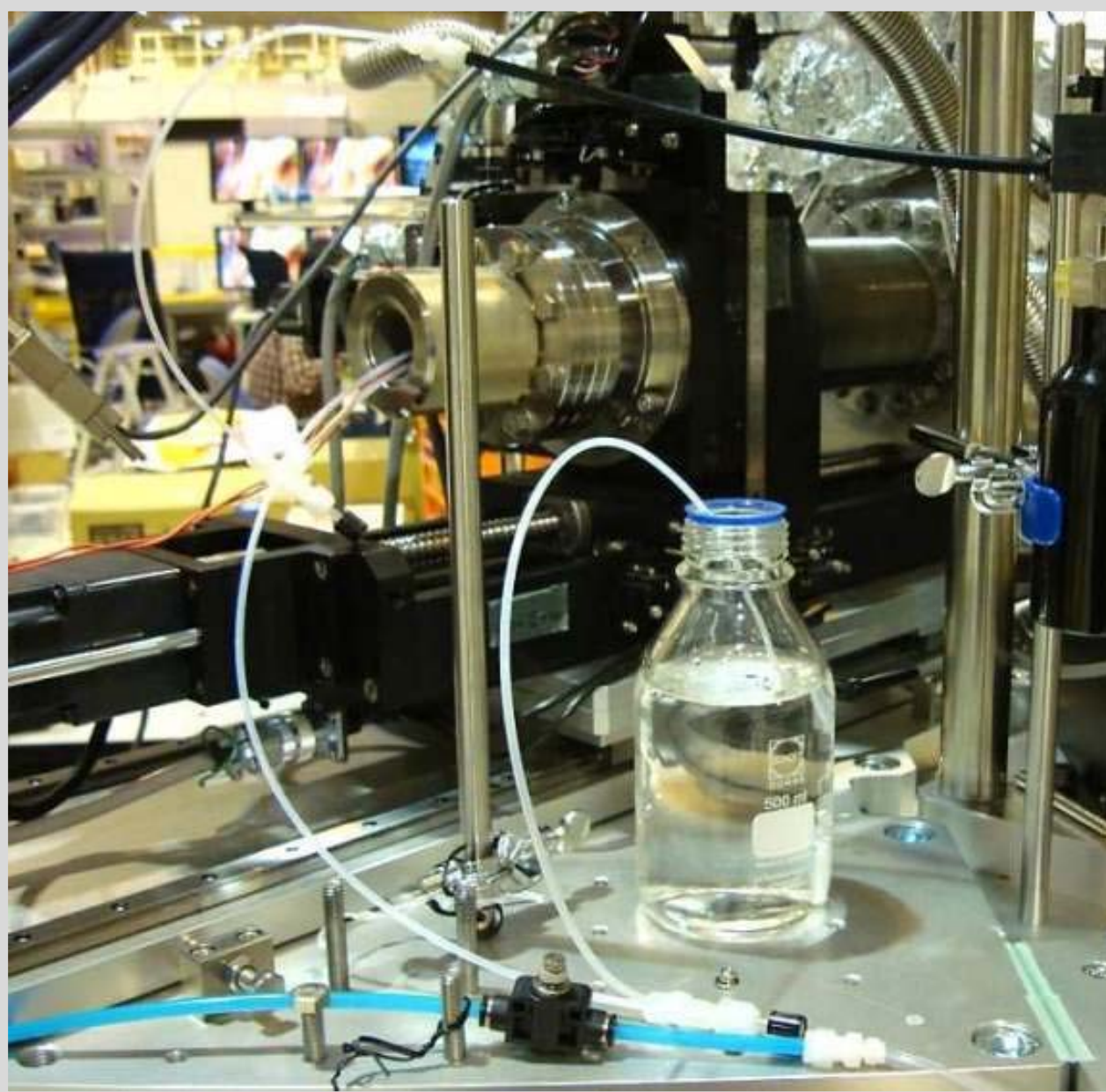
## Ti 2p RIXS



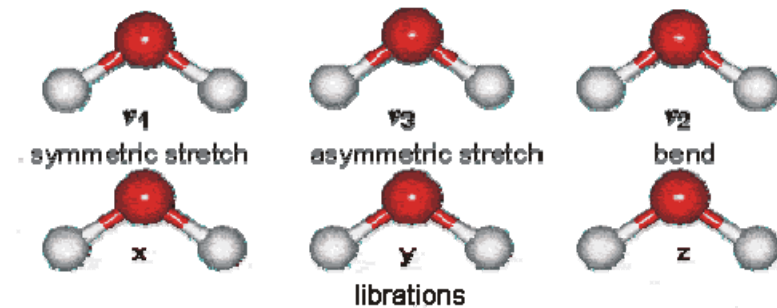
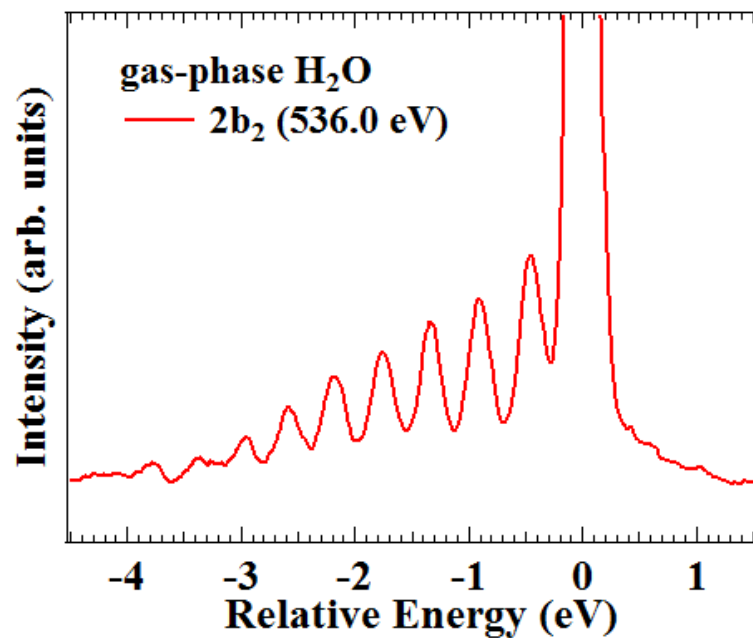
## O 1s RIXS



# RIXS of water and wet materials



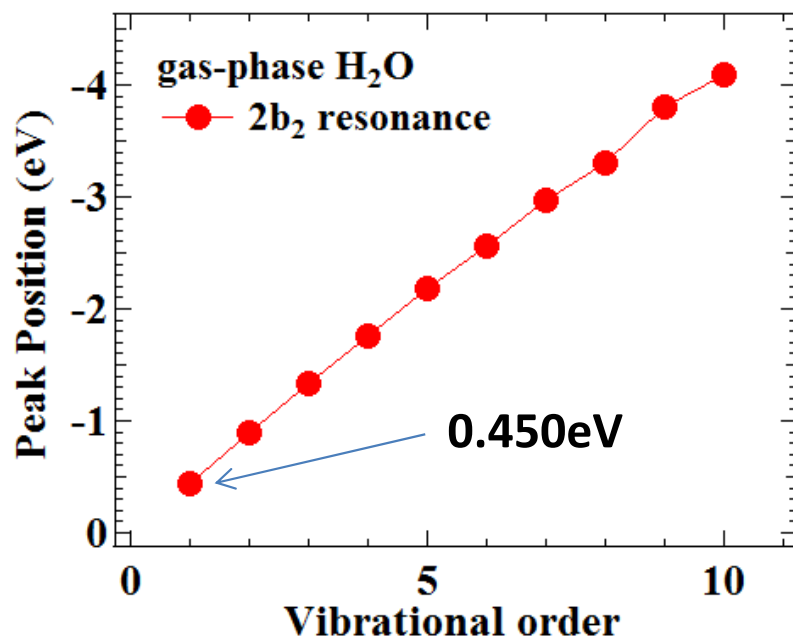
# O 1s vibrational RIXS of H<sub>2</sub>O molecule



From <http://www.lsbu.ac.uk/water/>  
Martin Chaplin, London South Bank University

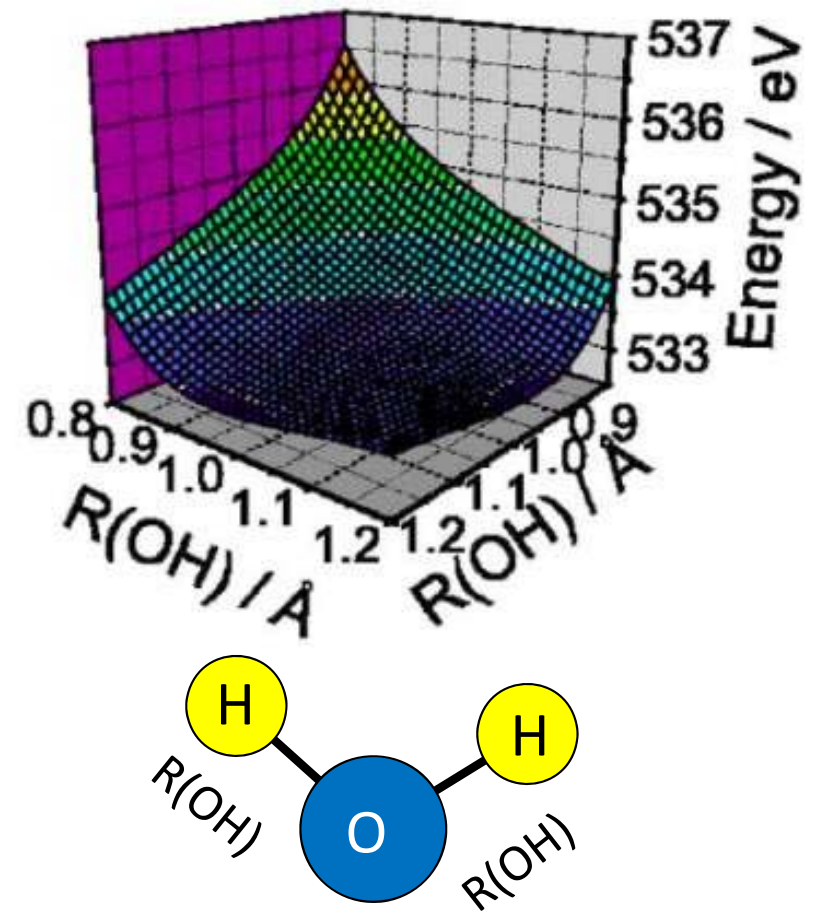
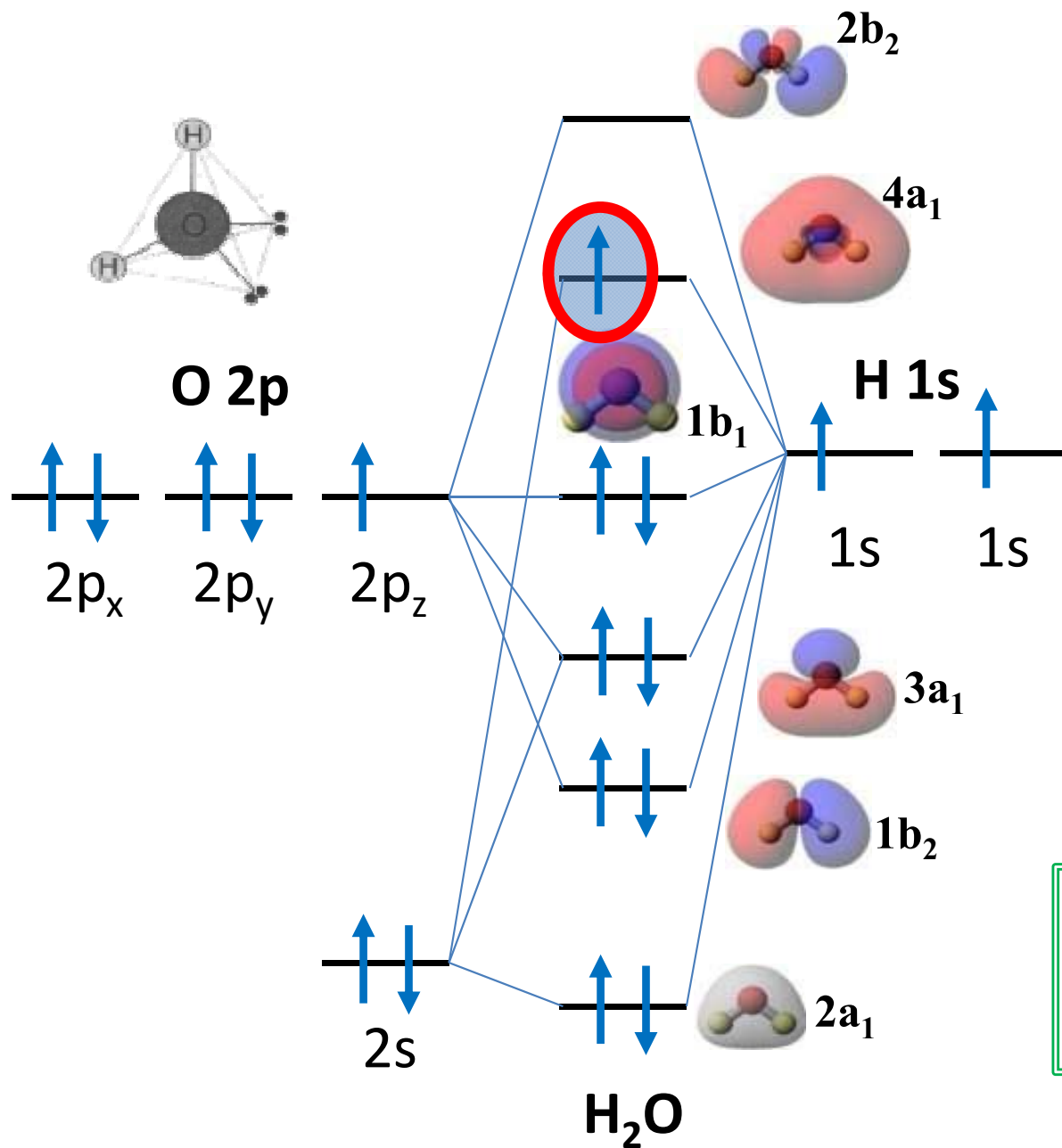
## gaseous water

Vibration(s)	liquid H <sub>2</sub> O (25°C)		liquid D <sub>2</sub> O (25°C)	
	v, cm <sup>-1</sup>	eV	v, cm <sup>-1</sup>	eV
v <sub>1</sub>	3657.1	<b>0.4530</b>	2671.7	0.3309
v <sub>2</sub>	1594.7	0.1975	1178.4	0.1460
v <sub>3</sub>	3755.9	<b>0.4653</b>	2787.7	0.3453



→ The obtained vibrational energy well corresponds to symmetric (v<sub>1</sub>) and asymmetric (v<sub>3</sub>) OH stretching.

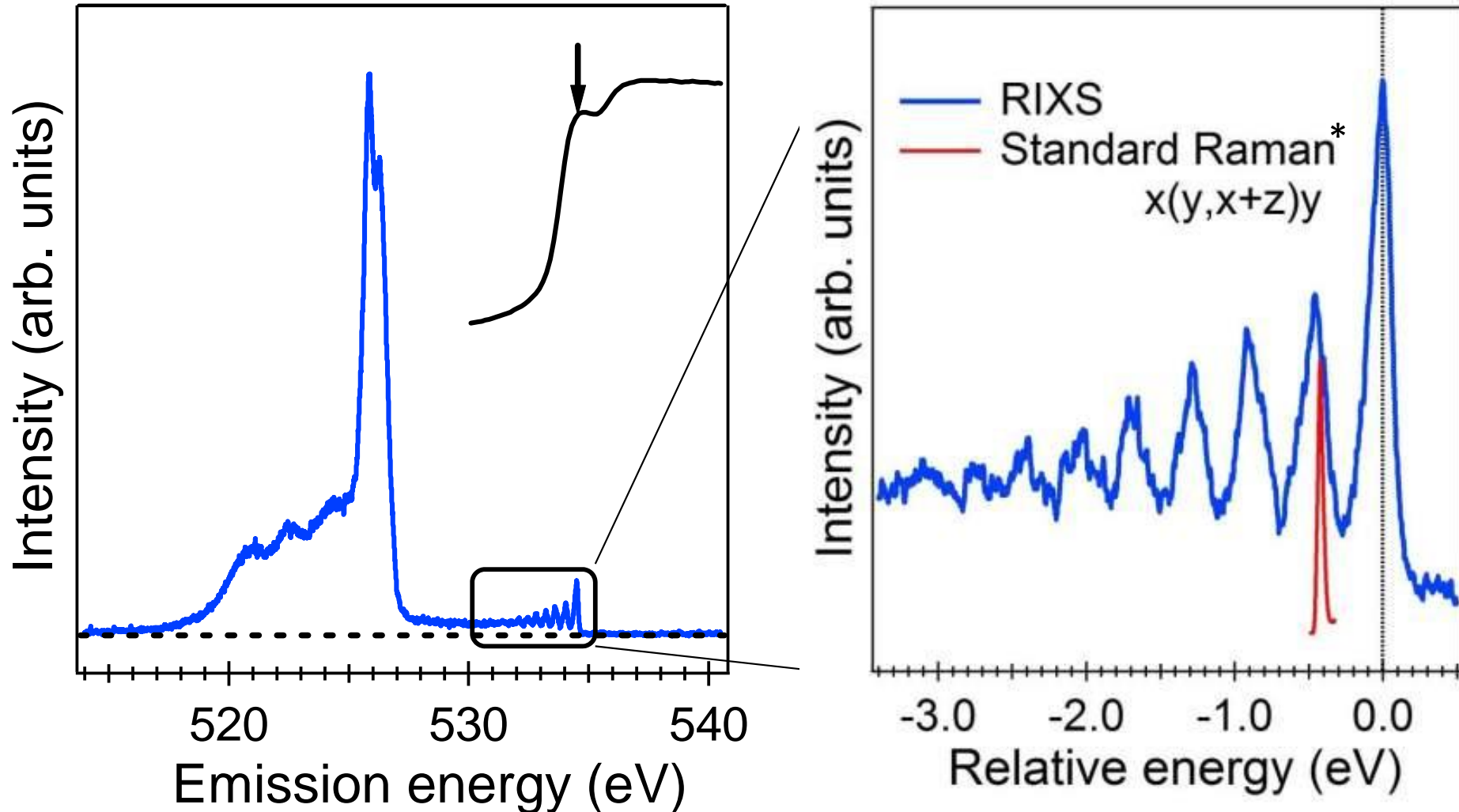
# OH bond dissociation stimulated by resonant excitation



The presence of electron excited to the antibonding orbital is essential to the dissociation

# O 1s vibrational RIXS of liquid H<sub>2</sub>O

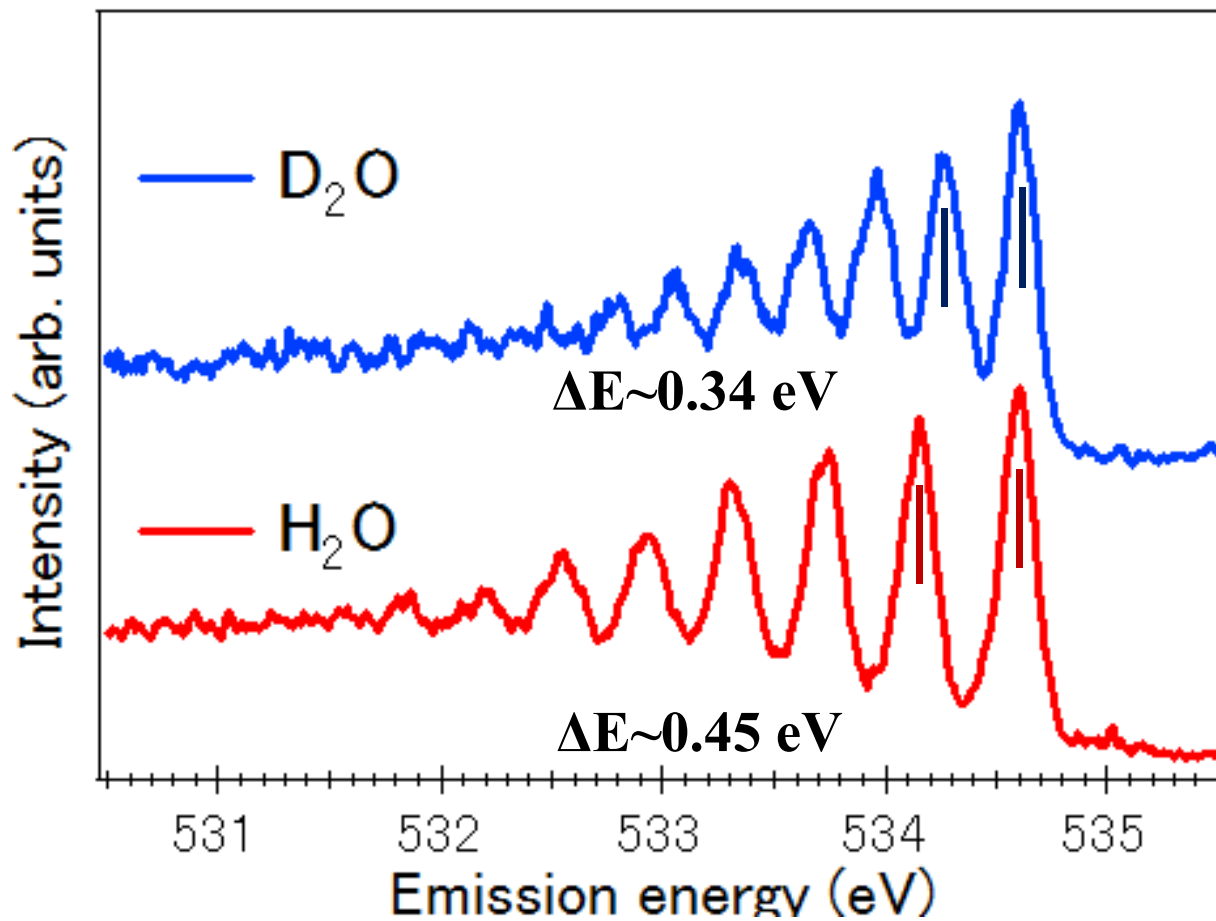
Y. Harada *et al.* PRL. **111**, 193001 (2013).



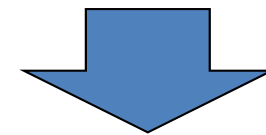
\*G. E. Walrafen *et al.*, Chem. Phys. **85**, 6964 (1986).

# Isotope effect

Y. Harada *et al.* PRL. **111**, 193001 (2013).



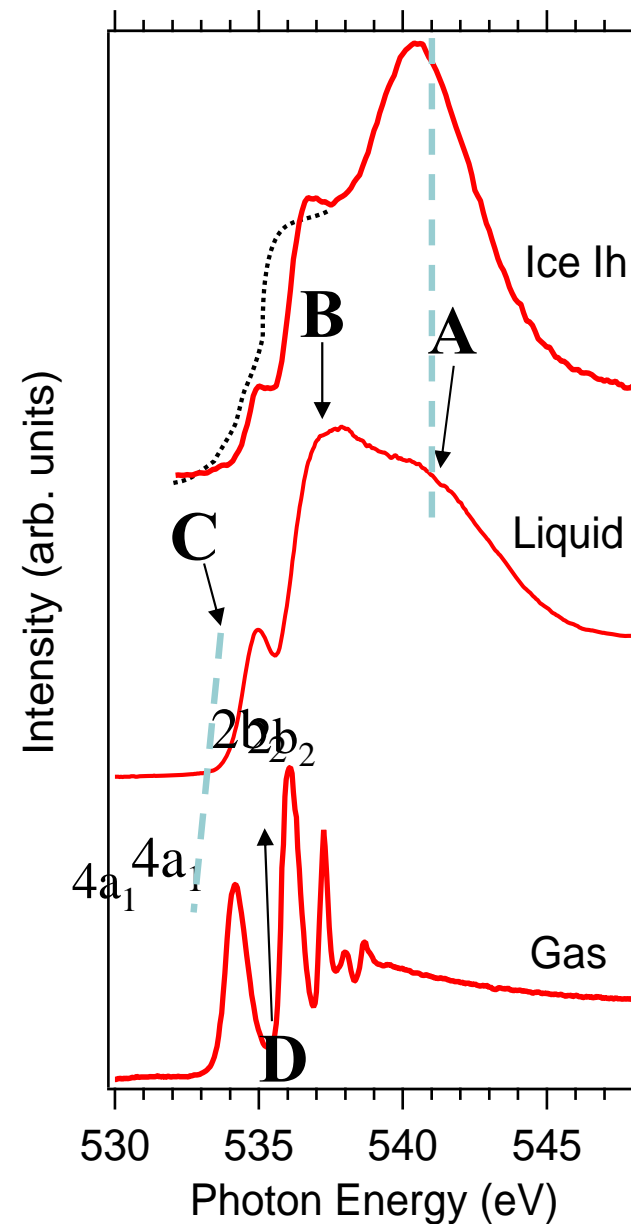
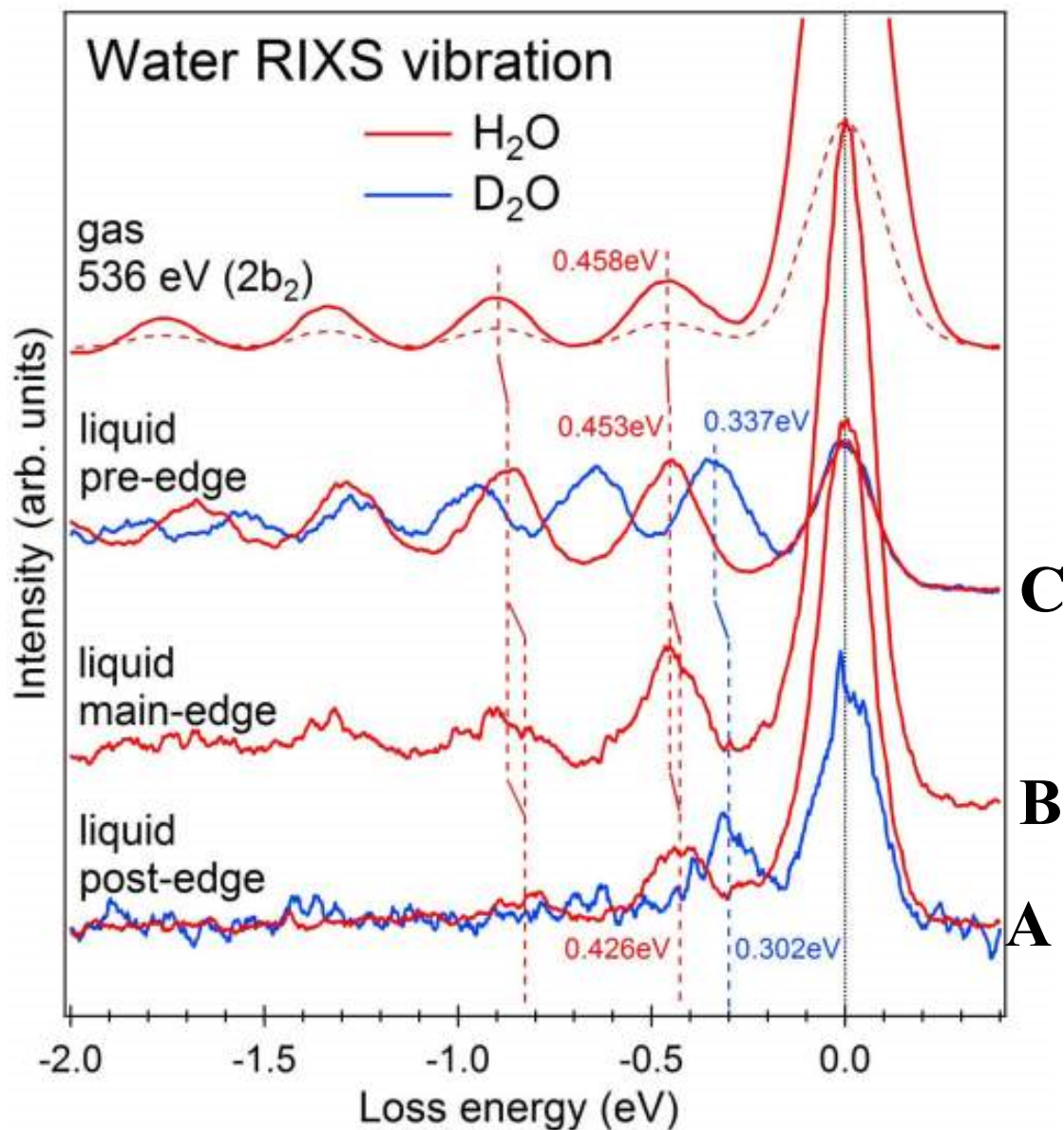
**The energy of the fundamental vibrational mode is close to that of gas phase water, rather than liquid water.**



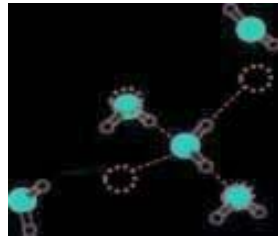
**Consistent with the interpretation of the O 1s XAS pre-edge peak.**

# Soft X-ray vibrational spectroscopy of water

Y. Harada *et al.*, to be submitted.

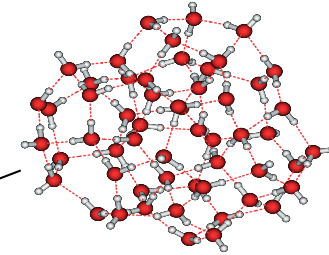
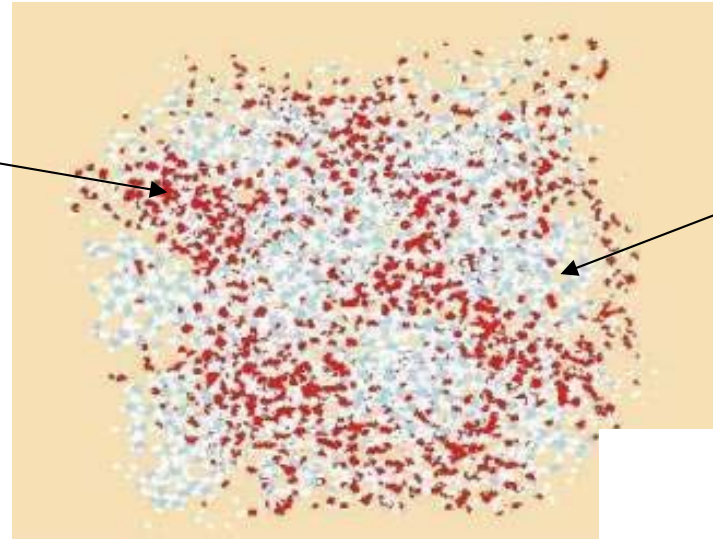


# Microheterogeneity in liquid water



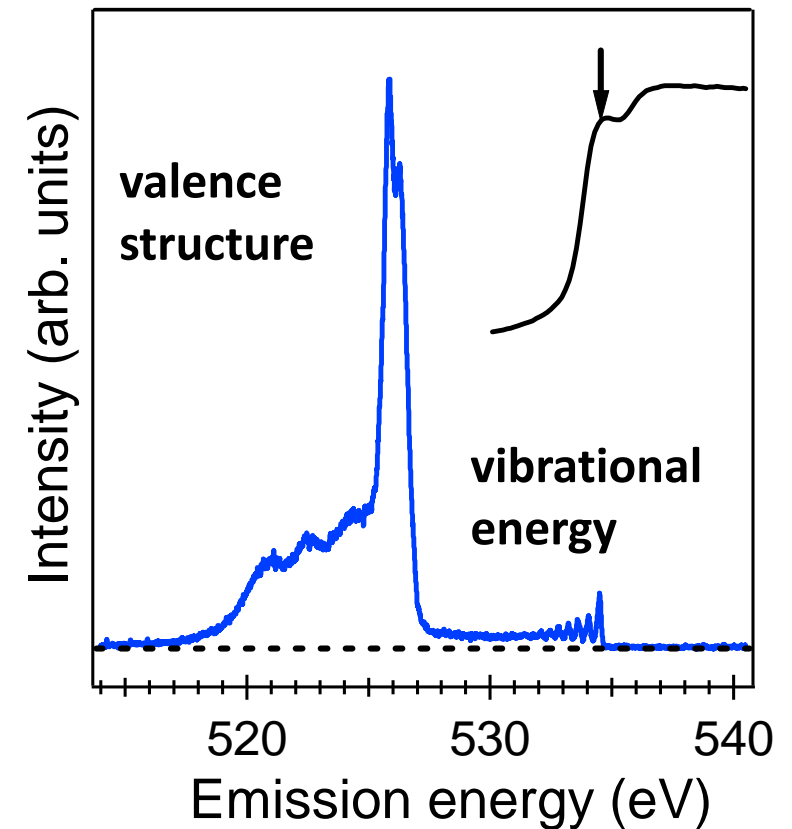
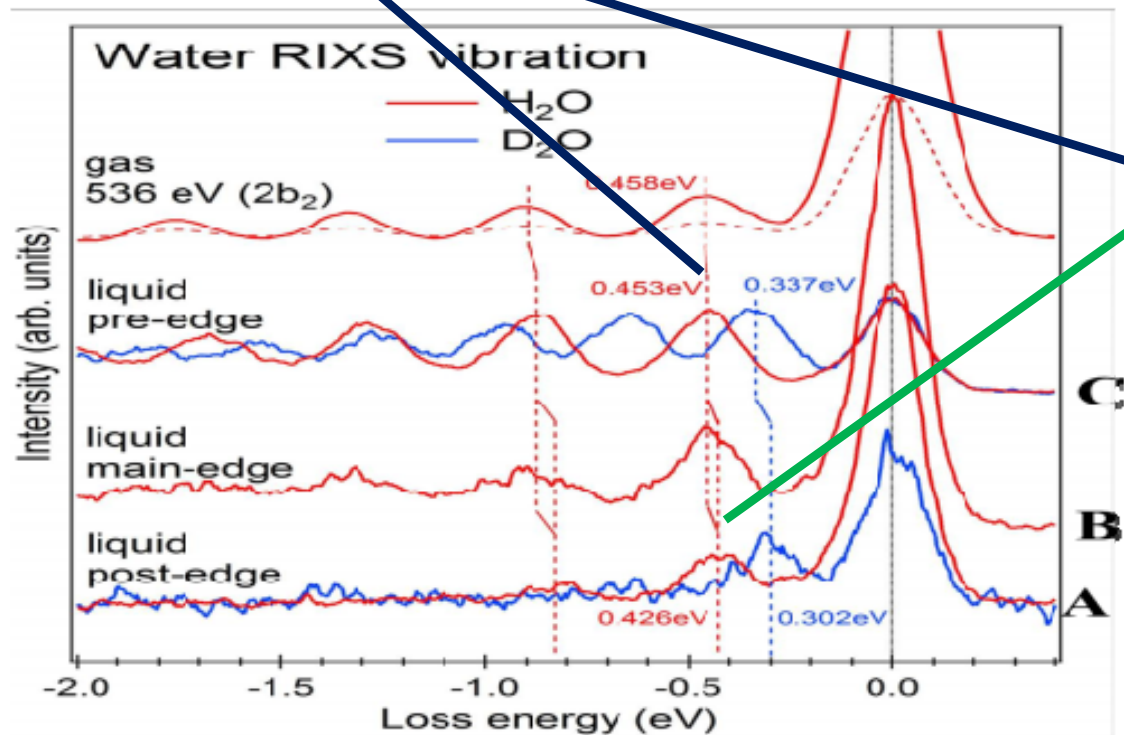
**HDL**

**Distorted  
hydrogen bond**

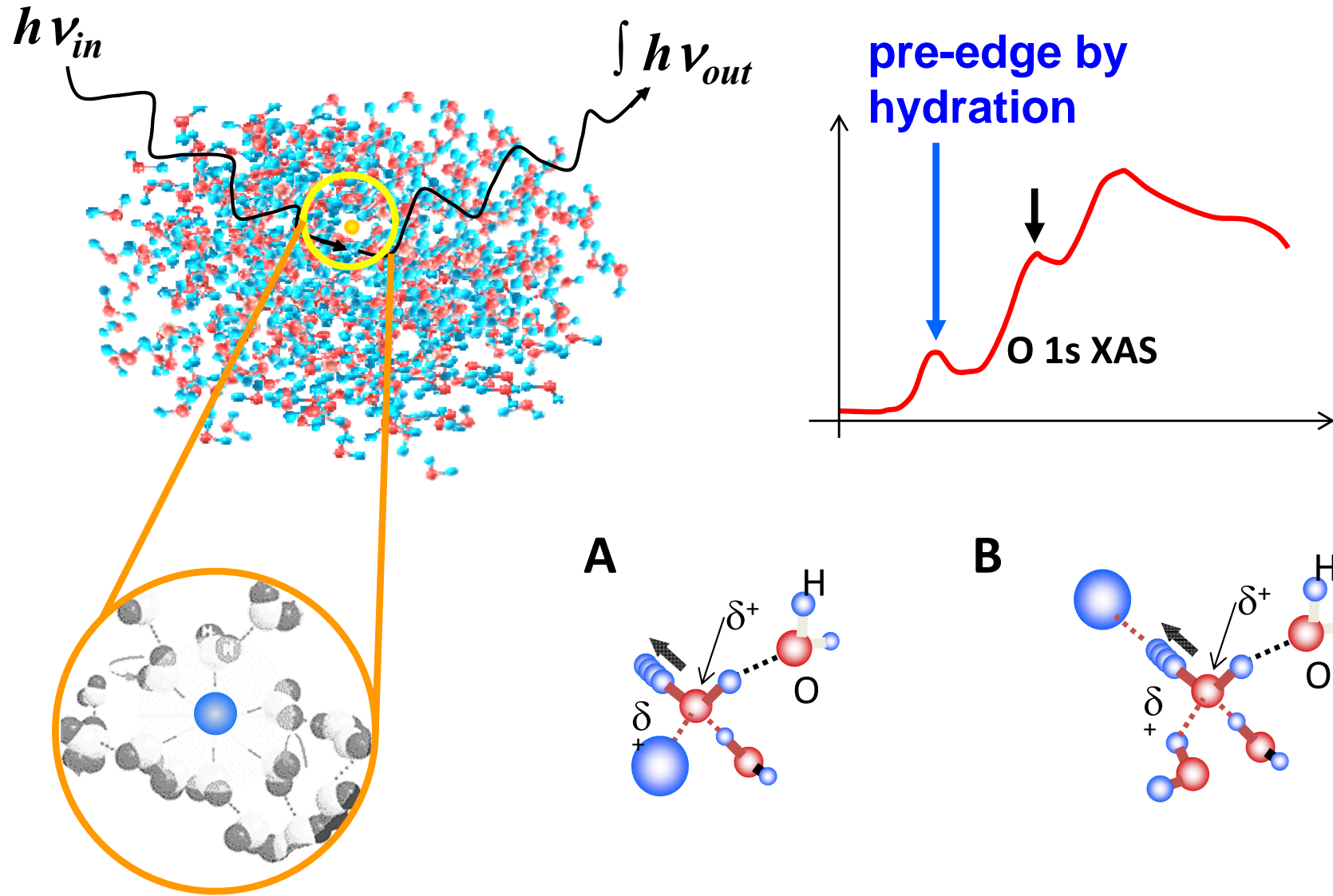


**LDL**

**Tetrahedral**

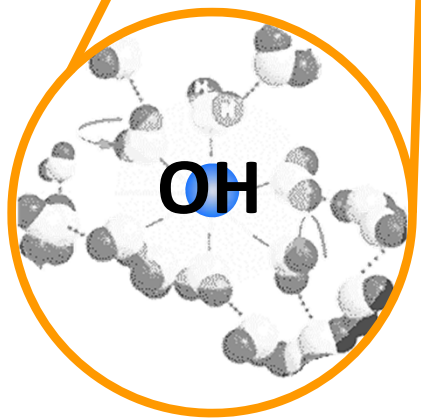
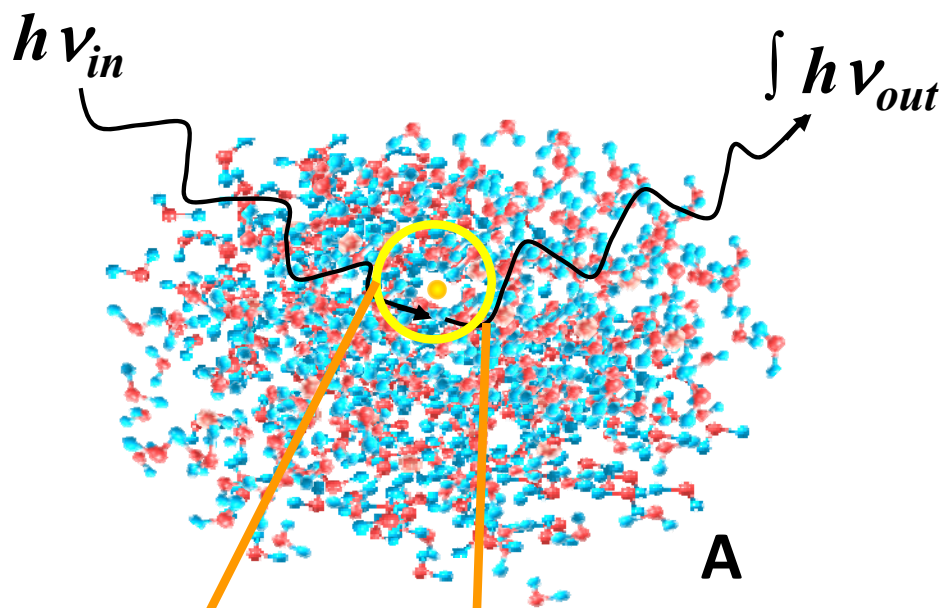


# Future application of vibrational RIXS to hydration

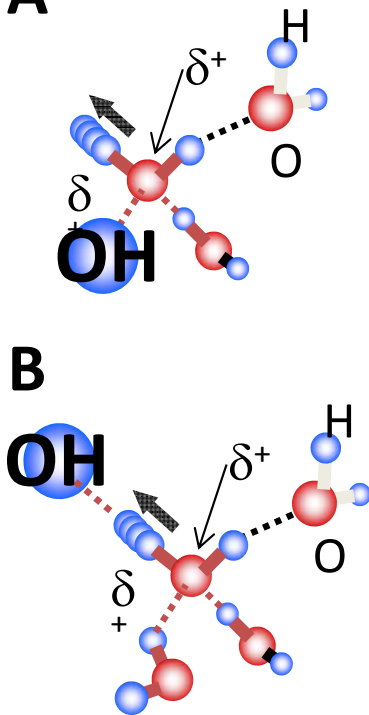


**Selective vibrational spectroscopy of hydrated water**

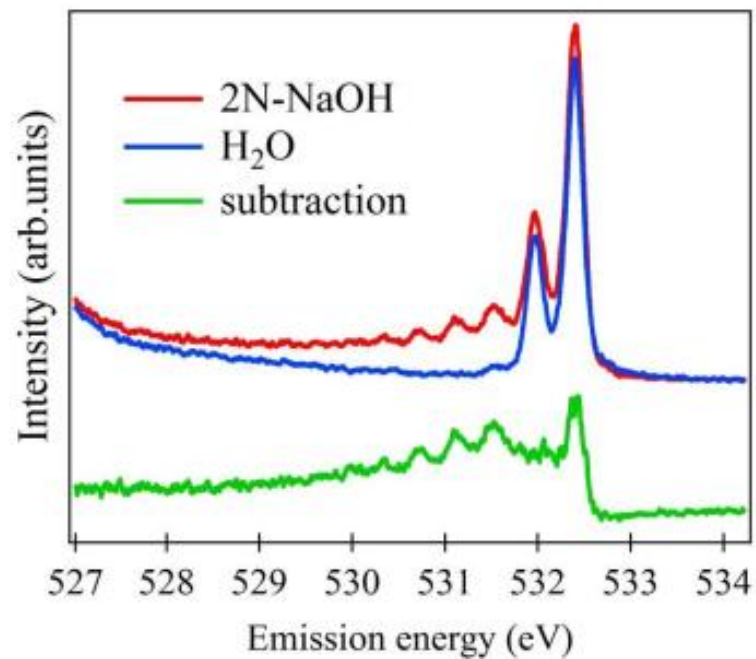
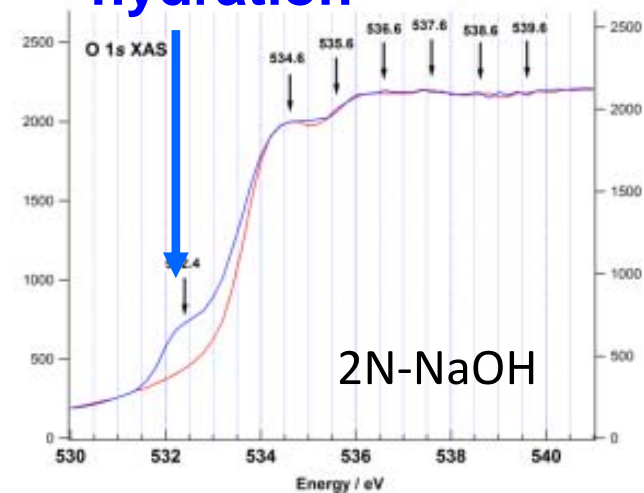
# Application of vibrational RIXS to hydrated OH



**A**

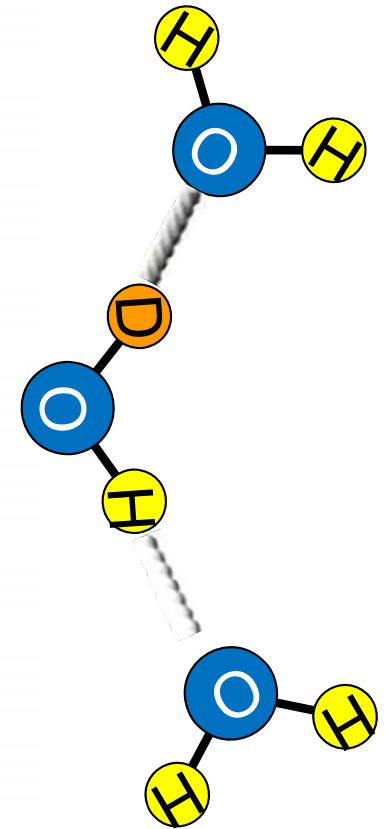
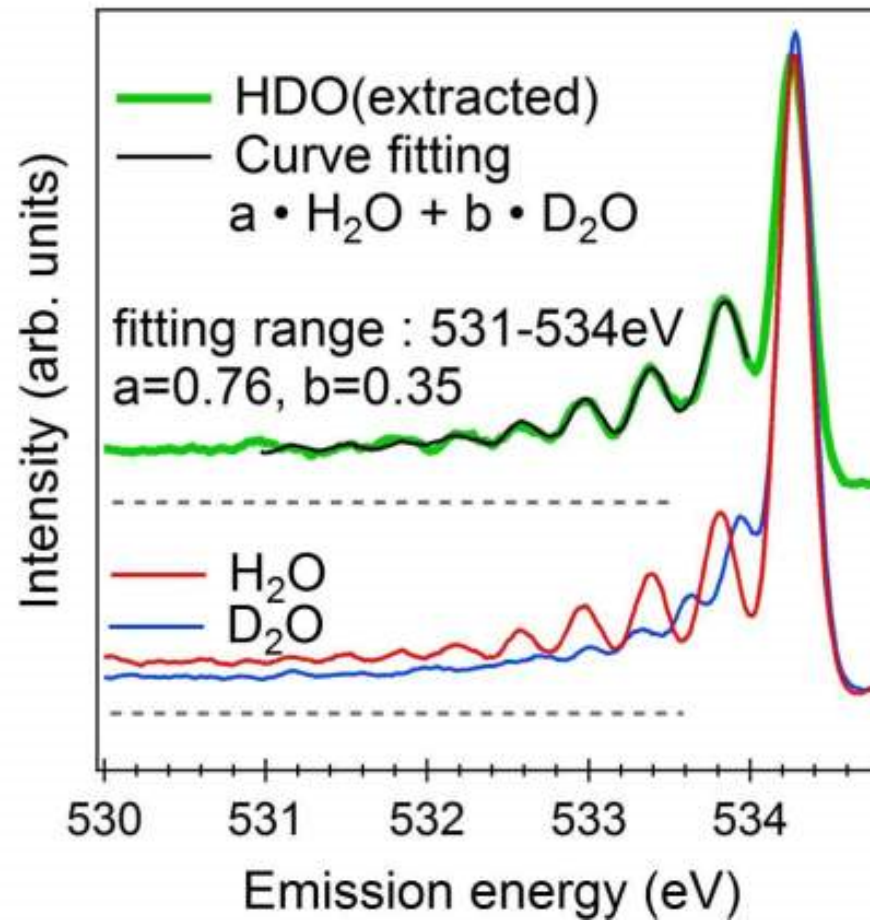
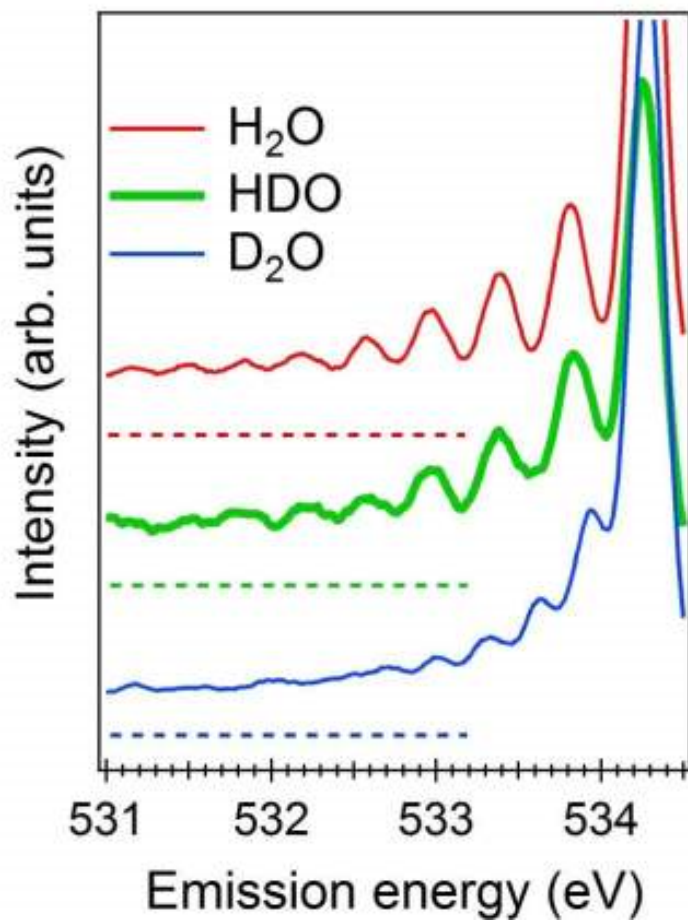


pre-edge by hydration



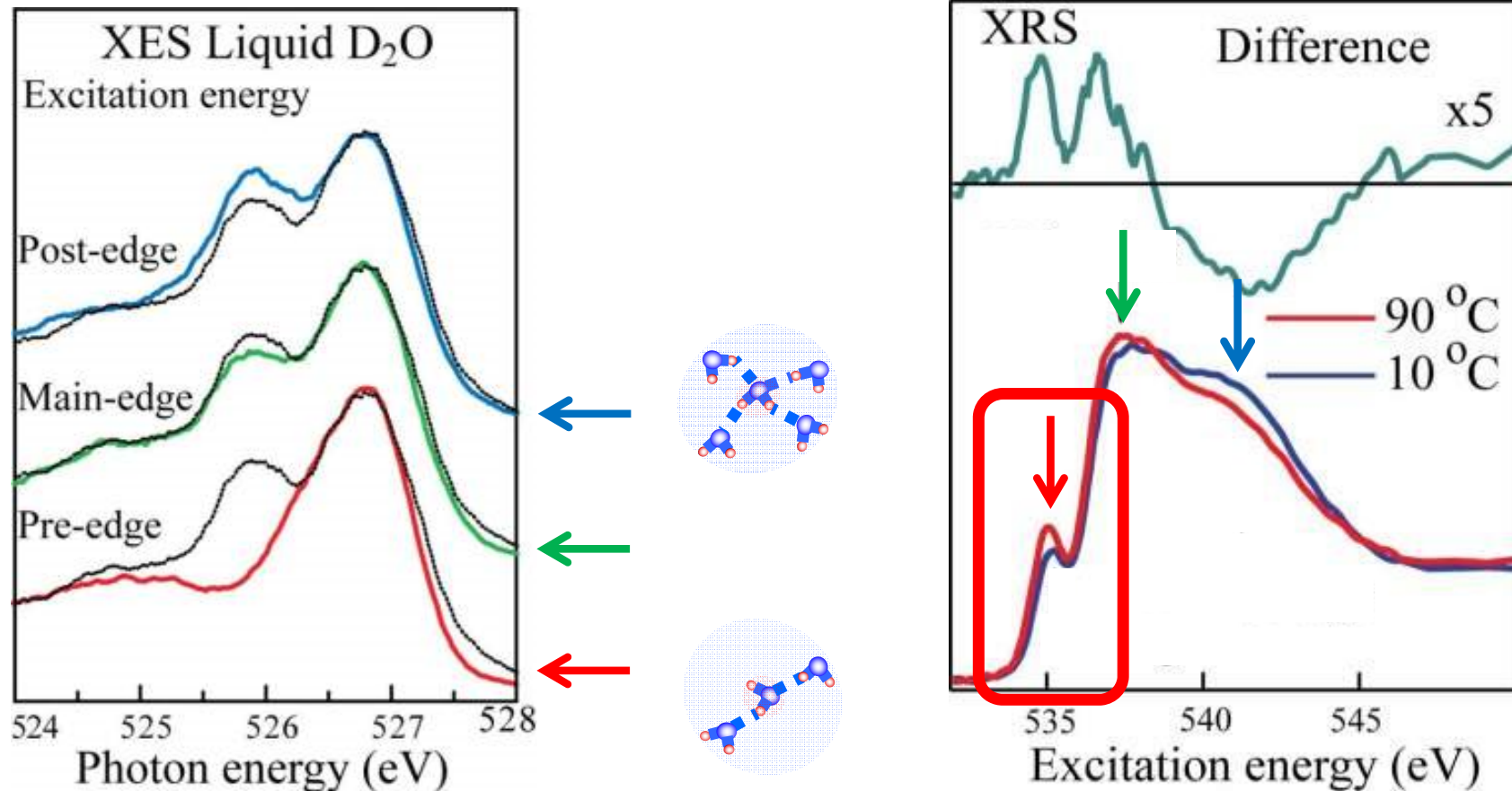
# Isotope effect

Y. Harada *et al.* PRL. **111**, 193001 (2013).



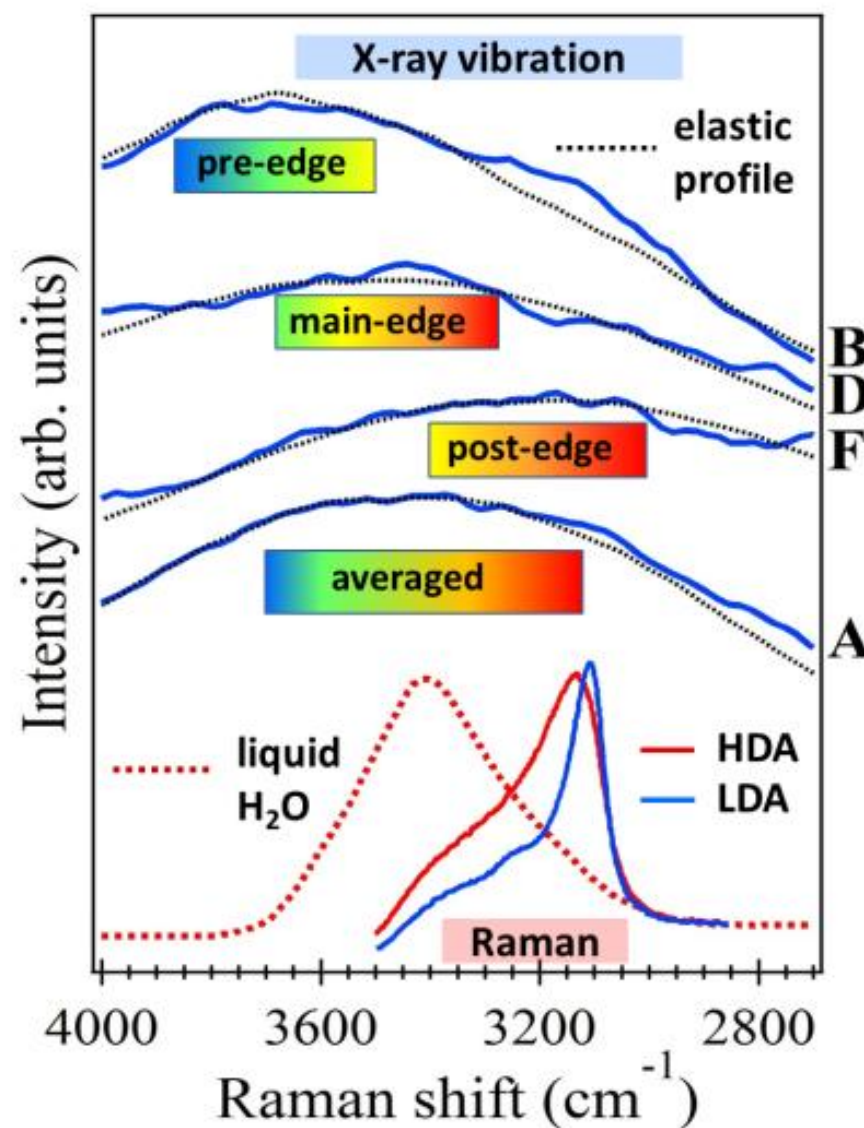
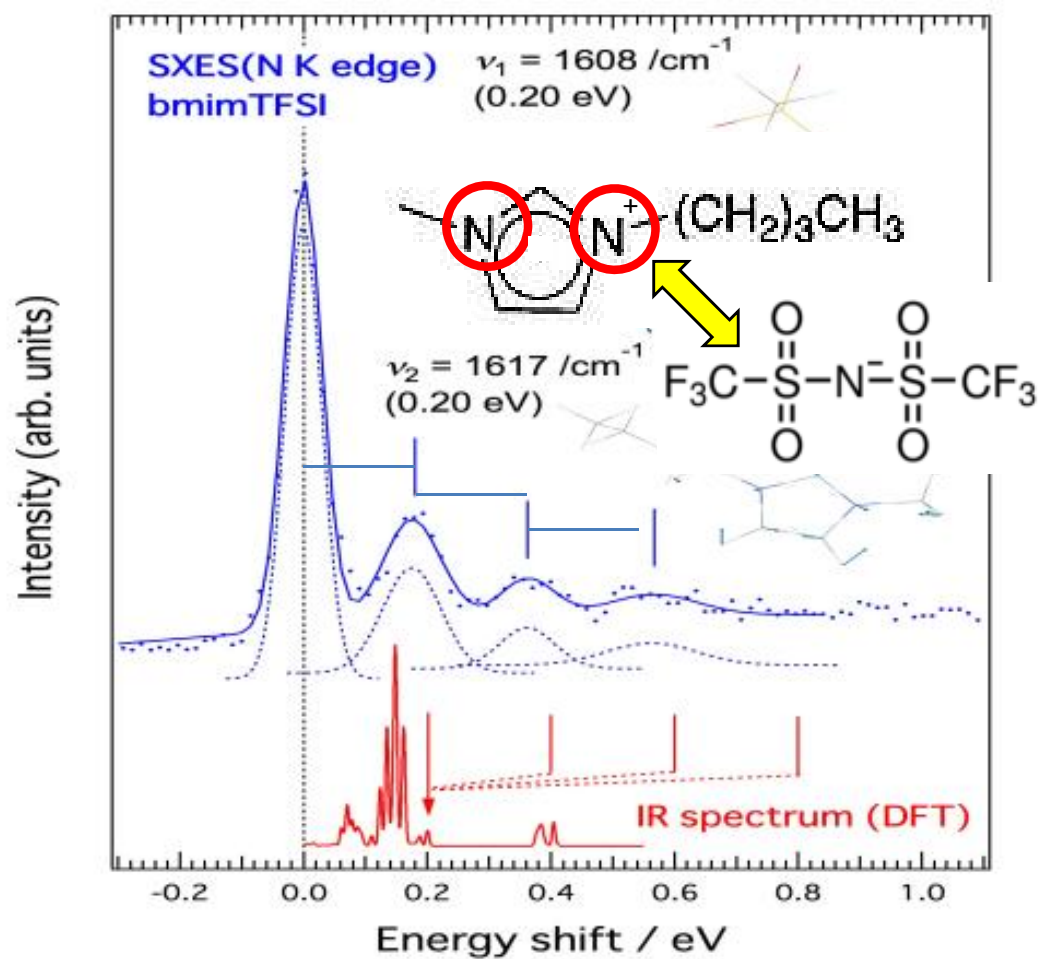
**2:1 sum of H<sub>2</sub>O and D<sub>2</sub>O spectra well reproduces HDO spectrum.**  
**OH side has more hydrogen bond broken species than OD side.**  
**→ consistent with the well known fact that D<sub>2</sub>O has stronger hydrogen bond than H<sub>2</sub>O.**

# Interpretation of liquid water O 1s XAS

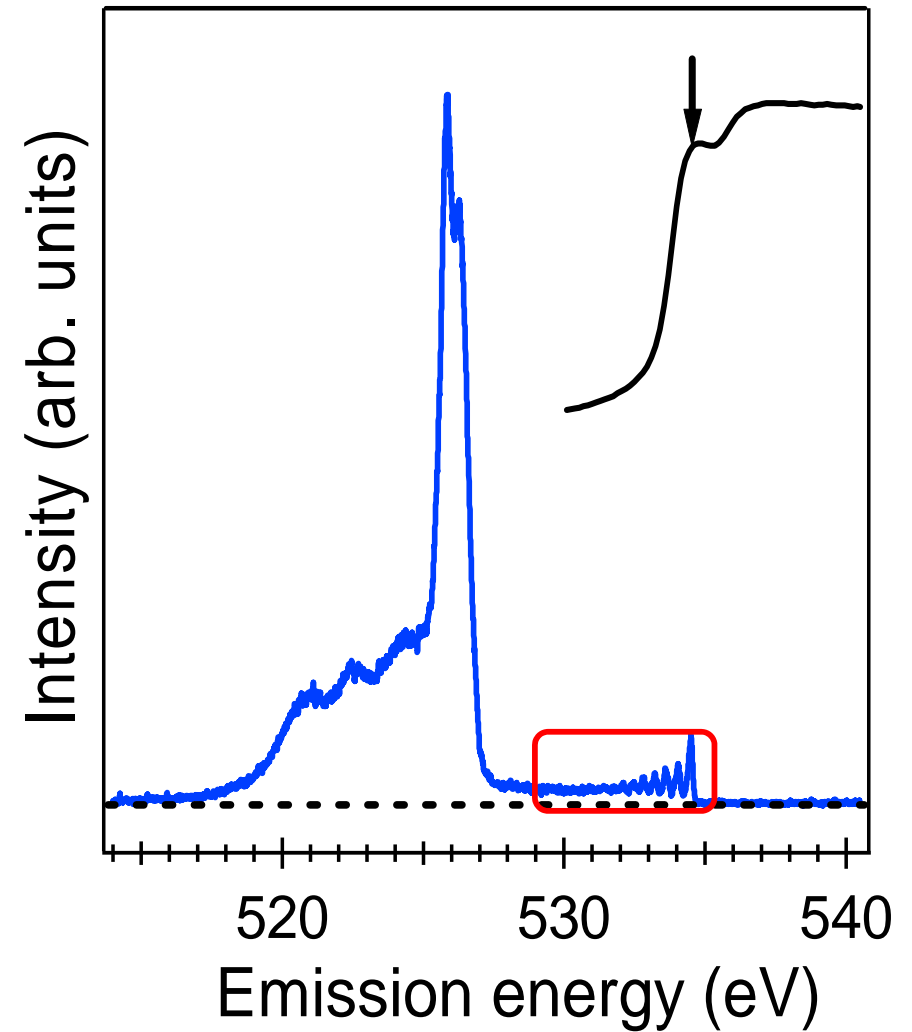
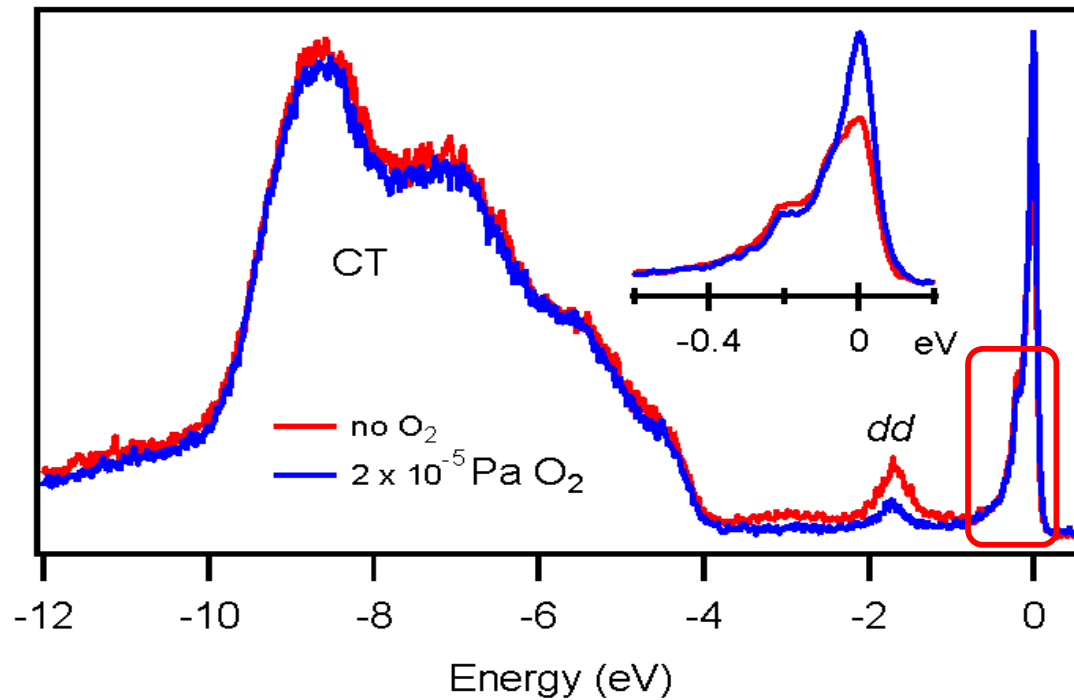


Two state model of liquid water is based on the **broken-hydrogen-bond picture** of the XAS pre-edge

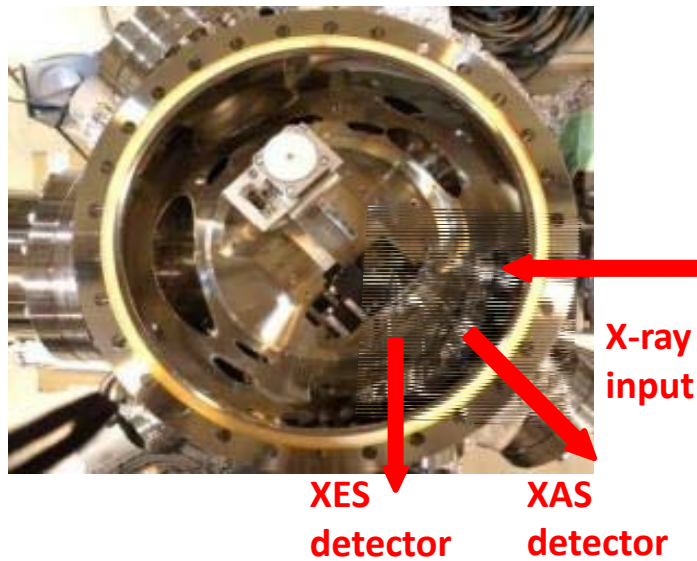
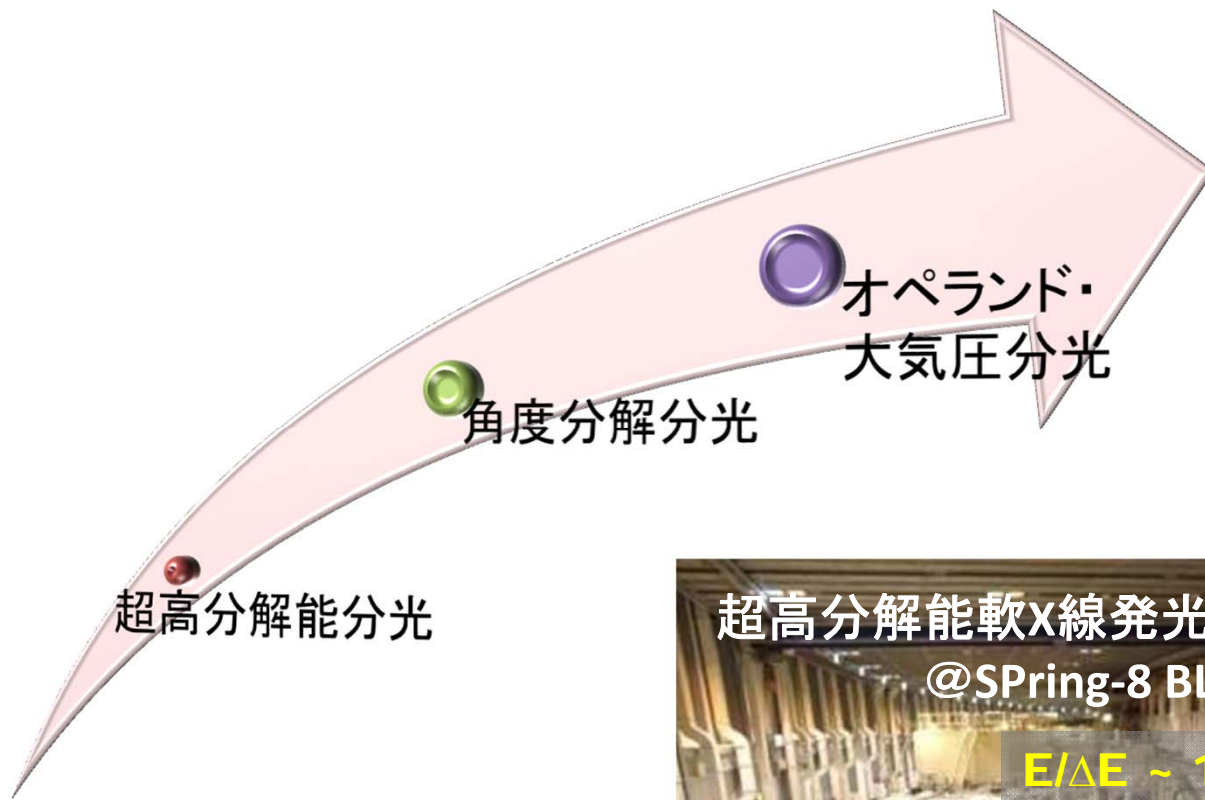
$$\Delta E \text{ (振動RIXS)} > \Delta E \text{ (IR/Raman)} * 100$$



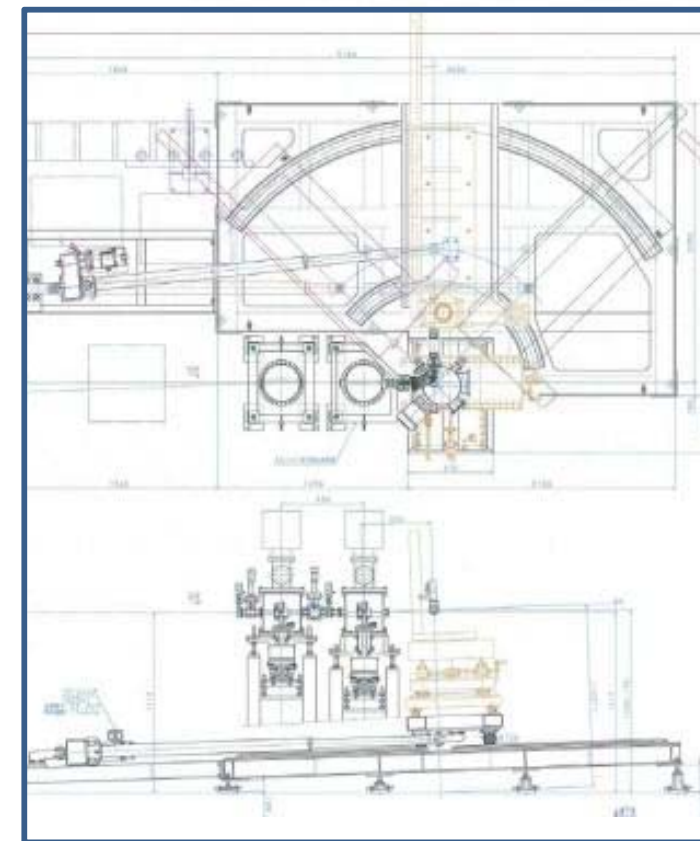
$I(\text{振動RIXS}) < I(\text{valence RIXS}) / 100$



# 軟X線発光分光の 段階的発展計画



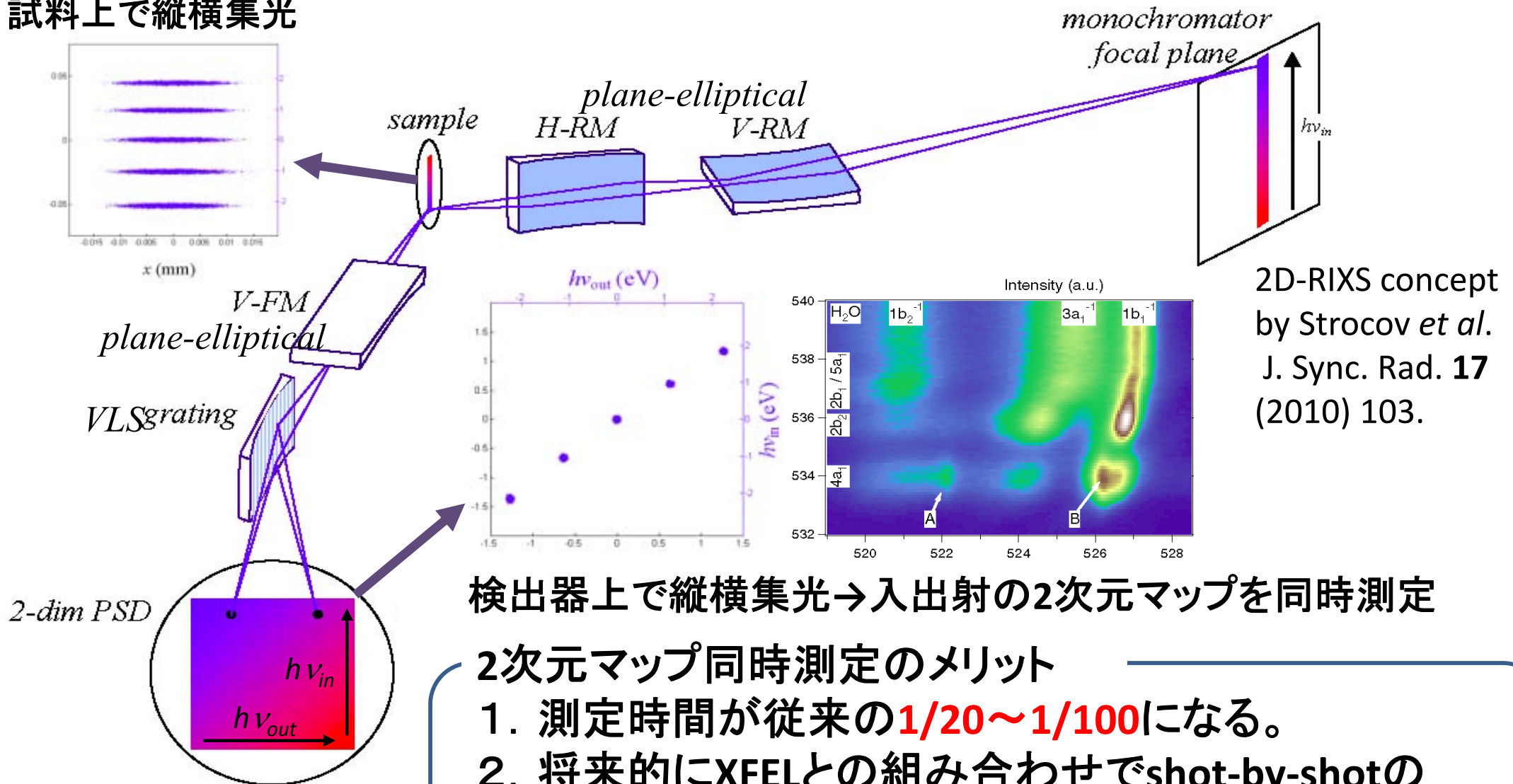
大気圧分光用差動排気システム



角度分解用分光器回転

# 軟X線発光分光の新たな展開：2D-RIXS

試料上で縦横集光



2D-RIXS concept  
by Stroscov *et al.*  
J. Sync. Rad. **17**  
(2010) 103.

検出器上で縦横集光→入出射の2次元マップを同時測定

2次元マップ同時測定のメリット

1. 測定時間が従来の**1/20~1/100**になる。
2. 将来的にXFELとの組み合わせでshot-by-shotの**化学反応追跡実験**も可能になる。
3. 自動的に**100nmオーダーの顕微分光**へ移行可能。

# HORNET users (since 2011) (敬称略)

---

宮脇 淳(東大物性研)

丹羽秀治(東大物性研)

木内久雄(東大院工)

中島淳貴(東大新領域)

尾嶋正治(東大放射光)

崔 藝濤(東大放射光)

大橋治彦 (JASRI/SPring-8)

仙波泰徳 (JASRI/SPring-8)

徳島 高 (理研SPring-8)

堀川裕加 (東大物性研)

辛 埴 (東大物性研)

Michael Sing (Würzburg大)

Florian Pfaff (Würzburg大)

Ralph Claessen (Würzburg大)

藤原秀紀(阪大)

菅滋正(阪大、Würzburg大)

Jinghua Guo (ALS)

Cheng-Hao Chuang (ALS)

吉信 淳(東大物性研)

小森文夫(東大物性研)

Lippmaa Mikk(東大物性研)

川崎聖治(東大物性研)

松田 巖(東大物性研)

山本 達(東大物性研)

斉木幸一郎(東大新領域)

寺倉清之(東工大)

難波江裕太(東工大)

近藤剛弘(筑波大)

中村潤児(筑波大)

櫻井雅崇(筑波大)

Anders Nilsson (Stanford大)

Lars Pettersson (Stockholm大)

高橋 修(広大)

Frank de Groot (Utrecht大)

Marco Grioni (EPFL)

Per-Anders Glans (ALS)

馬渡和真(東大)

北森武彦(東大)

塚原剛彦(東大)

朝倉大輔(産総研)

難波優輔(産総研)

細野英司(産総研)

福田勝利(京大)

森田将史(京大)

関場大一郎(筑波大)

栗田圭輔(筑波大)

館山佳尚(NIMS)

折茂慎一(東北大)

高木成幸(東北大)

松尾元彰(東北大)

Moser Simon (EPFL)

Olalde Paul (SLS)

Thorsten Schmitt (SLS)

Thank you  
For your attention !



**BL 7**